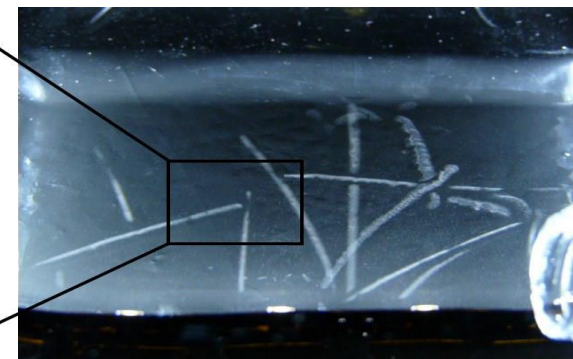
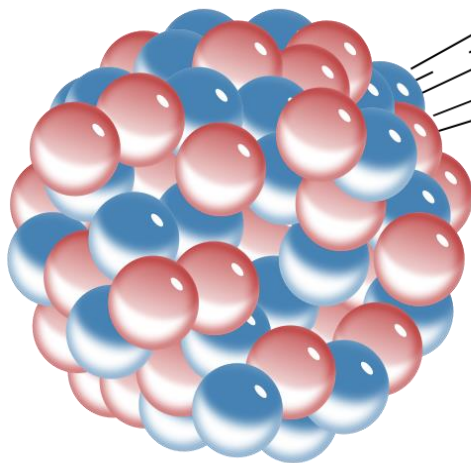
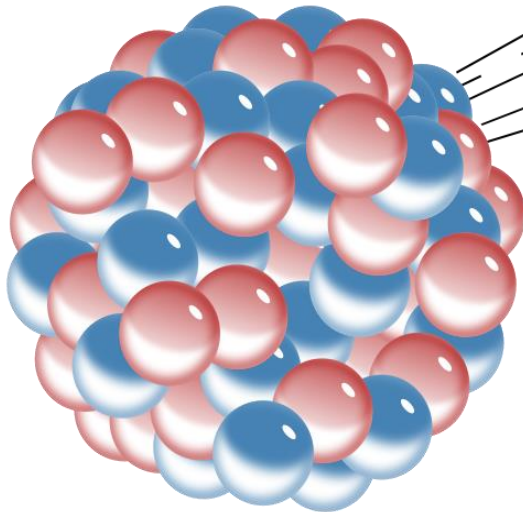
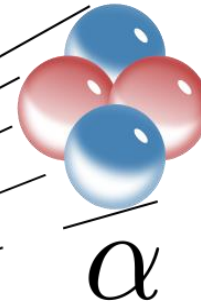
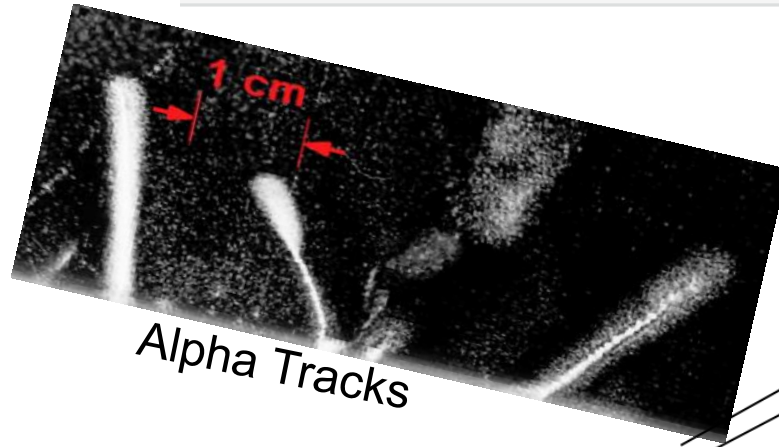


Physik IV

03 Alpha α



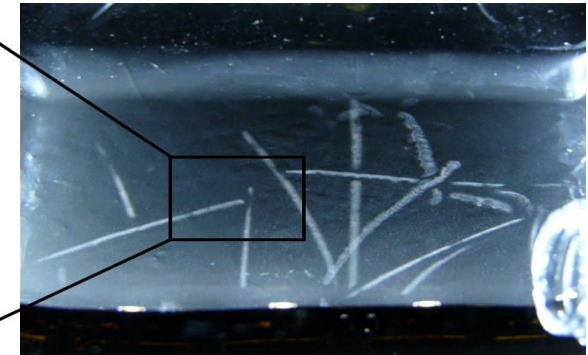
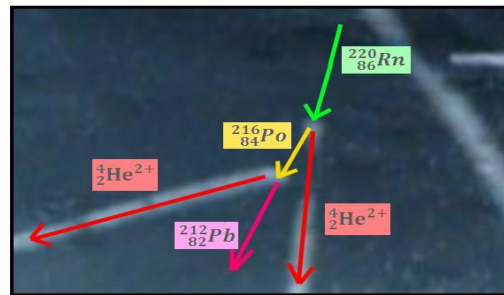


<http://25.media.tumblr.com>



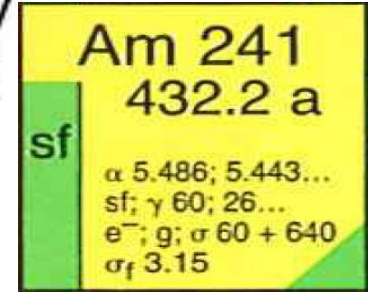
Georg Gamow

<http://de.wikipedia.org>



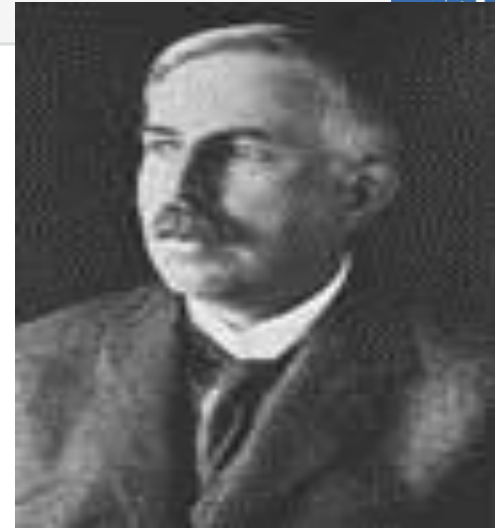
α Zerfall in der Nebelkammer

<http://chambrebrouillard.wifeo.com/alpha.php>





1899 Ernest Rutherford entdeckt, dass Uran Minerale zwei verschiedene Strahlungsarten emittieren: er nennt sie α - and β -Strahlung. Sie unterscheiden sich in ihrem Durchdringungsvermögen.



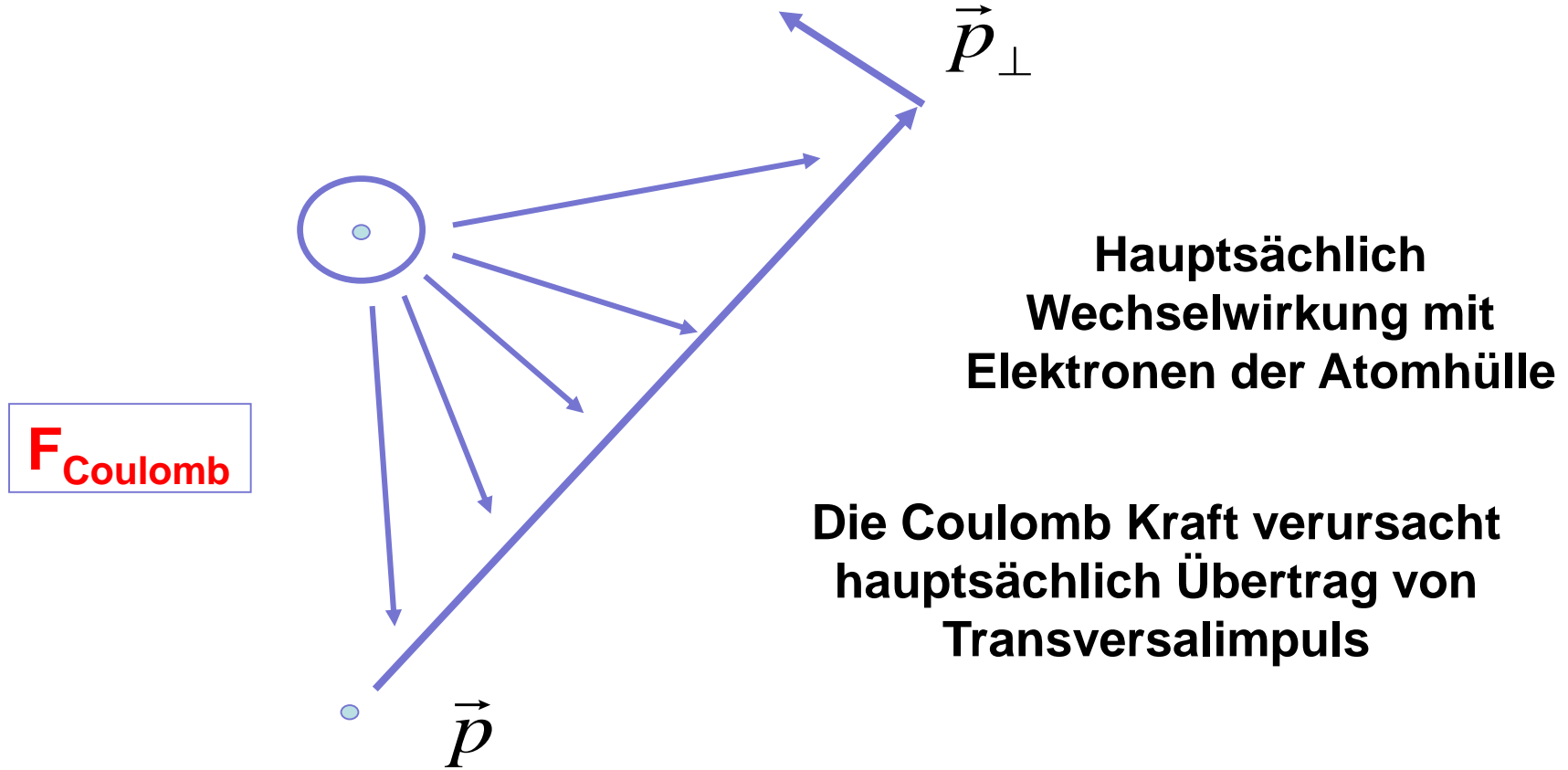
In den Folgejahren zeigt sich, dass alpha Teilchen massiv und positiv geladen sind

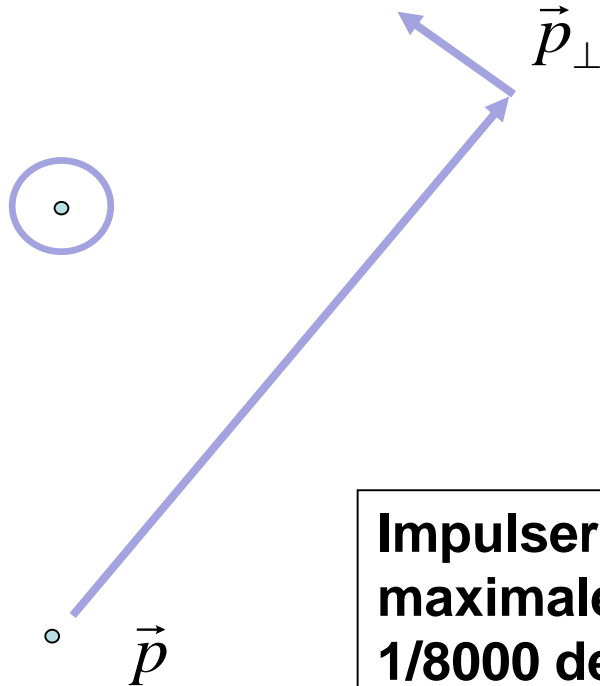
$$\frac{Z \cdot e}{m} = \frac{1}{40000} \cdot \frac{e}{m_0}$$

1909 direkter Beweis, dass $\alpha = {}^4\text{He}^{2+}$.

Vergleich von α, β, γ

Elearning: <http://www.e-learning.chemie.fu-berlin.de/radiochemie/strahlungswirkung/reichweite/index.html/>





$$\vec{p}_{\perp,\alpha} = \vec{p}_e$$

Impulserhaltung

$$\Delta E_{\alpha} = \frac{p_{\perp,\alpha}^2}{2 \cdot m_{\alpha}} \quad \Delta E_e = \frac{p_e^2}{2 \cdot m_e} = \frac{2 \cdot m_{\alpha} \cdot \Delta E_{\alpha}}{2 \cdot m_e}$$

$$\Delta E_e = \frac{m_{\alpha}}{m_e} \Delta E_{\alpha} \approx 8000 \cdot \Delta E_{\alpha}$$

Impulserhaltung limitiert ΔE_e und daher ist der maximale Energieverlust in einem Stoß 1/8000 der Energie des alpha-Teilchens

⇒ Die Bremsung schwerer Teilchen ist ein Vielfachstreuungsprozess.

$$-\frac{dE}{ds} = \frac{4\pi \cdot N^V z^2}{m_e v^2} \left(\frac{e^2}{4\pi\epsilon_0} \right)^2 \cdot B$$

Bethe Bloch Gleichung

- $-\frac{dE}{ds}$ Bremsvermögen (stopping power)
- z Kernladungszahl des schweren geladenen Teilchens
- m_e Ruhemasse des Elektrons
- v Geschwindigkeit des schweren Teilchens
- N^V Anzahl der Kerne im Absorber pro cm^3
- B Bremszahl (atomic stopping number)
- Z Kernladungszahl des Absorbers
- I mittleres Ionisationspotential des Absorbers
- C_k Korrektionsfaktor für $E < 4 \text{ MeV}$, $0 < c_k < 1$, Umladung

$$-\frac{dE}{ds} = \frac{4\pi \cdot N^V Z^2}{m_e v^2} \left(\frac{e^2}{4\pi\epsilon_0} \right)^2 \cdot B \quad B = Z \cdot \left[\ln \frac{2m_e v^2}{I(1-\beta^2)} - \frac{c_k}{Z} \right]$$

$$\beta = \frac{v}{c} \quad I = 11,5 \cdot Z \text{ (eV)} \quad \textbf{Bethe Bloch Gleichung}$$

- $-\frac{dE}{ds}$ Bremsvermögen (stopping power)
- Z Kernladungszahl des schweren geladenen Teilchens
- m_e Ruhemasse des Elektrons
- v Geschwindigkeit des schweren Teilchens
- N^V Anzahl der Kerne im Absorber pro cm^3
- B Bremszahl (atomic stopping number)
- Z Kernladungszahl des Absorbers
- I mittleres Ionisationspotential des Absorbers
- c_k Korrektionsfaktor für $E < 4 \text{ MeV}$, $0 < c_k < 1$, Umladung

$$n_e = Z \times N^v = Z \times \frac{N_L}{A} \rho$$

$$\frac{n}{\rho} = \frac{Z \times N_L}{A} \gg \text{const.}$$

$$n_e = Z \times N^v = Z \times \frac{N_L}{A} \rho$$

$$\frac{n}{\rho} = \frac{Z \times N_L}{A} \gg \text{const.}$$

$$Q = \frac{(dE / ds)_A}{(dE / ds)_0} = \frac{r_0 dx_0}{r_A dx_A} = \frac{A_0 \times Z_A}{A_A \times Z_0} \times \frac{\ln \frac{2m_e v^2}{I_A}}{\ln \frac{2m_e v^2}{I_0}}$$

**Relatives
Bremsvermögen**

$$n_e = Z \times N^v = Z \times \frac{N_L}{A} \rho$$

$$\frac{n}{\rho} = \frac{Z \times N_L}{A} \gg \text{const.}$$

$$Q = \frac{(dE / ds)_A}{(dE / ds)_0} = \frac{r_0 dx_0}{r_A dx_A} = \frac{A_0 \times Z_A}{A_A \times Z_0} \times \frac{\ln \frac{2m_e v^2}{I_A}}{\ln \frac{2m_e v^2}{I_0}}$$

**Relatives
Bremsvermögen**

$$\frac{R_A \text{ in cm}}{R_0 \text{ in cm}} = \frac{\rho_0}{\rho_A} \sqrt{\frac{A_A}{A_0}}$$

**Bragg-Kleemann-
Regel**

$$n_e = Z \times N^v = Z \times \frac{N_L}{A} \rho$$

$$\frac{n}{\rho} = \frac{Z \times N_L}{A} \gg \text{const.}$$

$$Q = \frac{(dE / ds)_A}{(dE / ds)_0} = \frac{r_0 dx_0}{r_A dx_A} = \frac{A_0 \times Z_A}{A_A \times Z_0} \times \frac{\ln \frac{2m_e v^2}{I_A}}{\ln \frac{2m_e v^2}{I_0}}$$

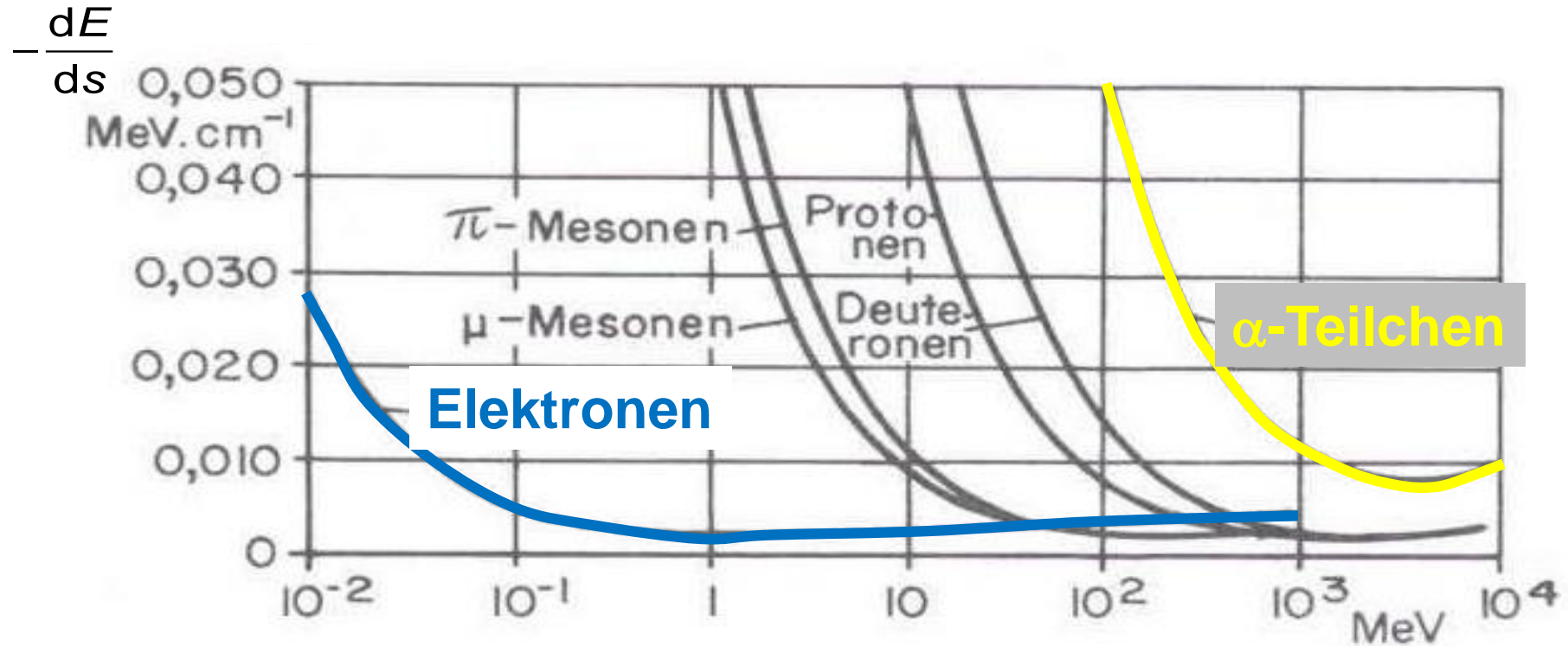
**Relatives
Bremsvermögen**

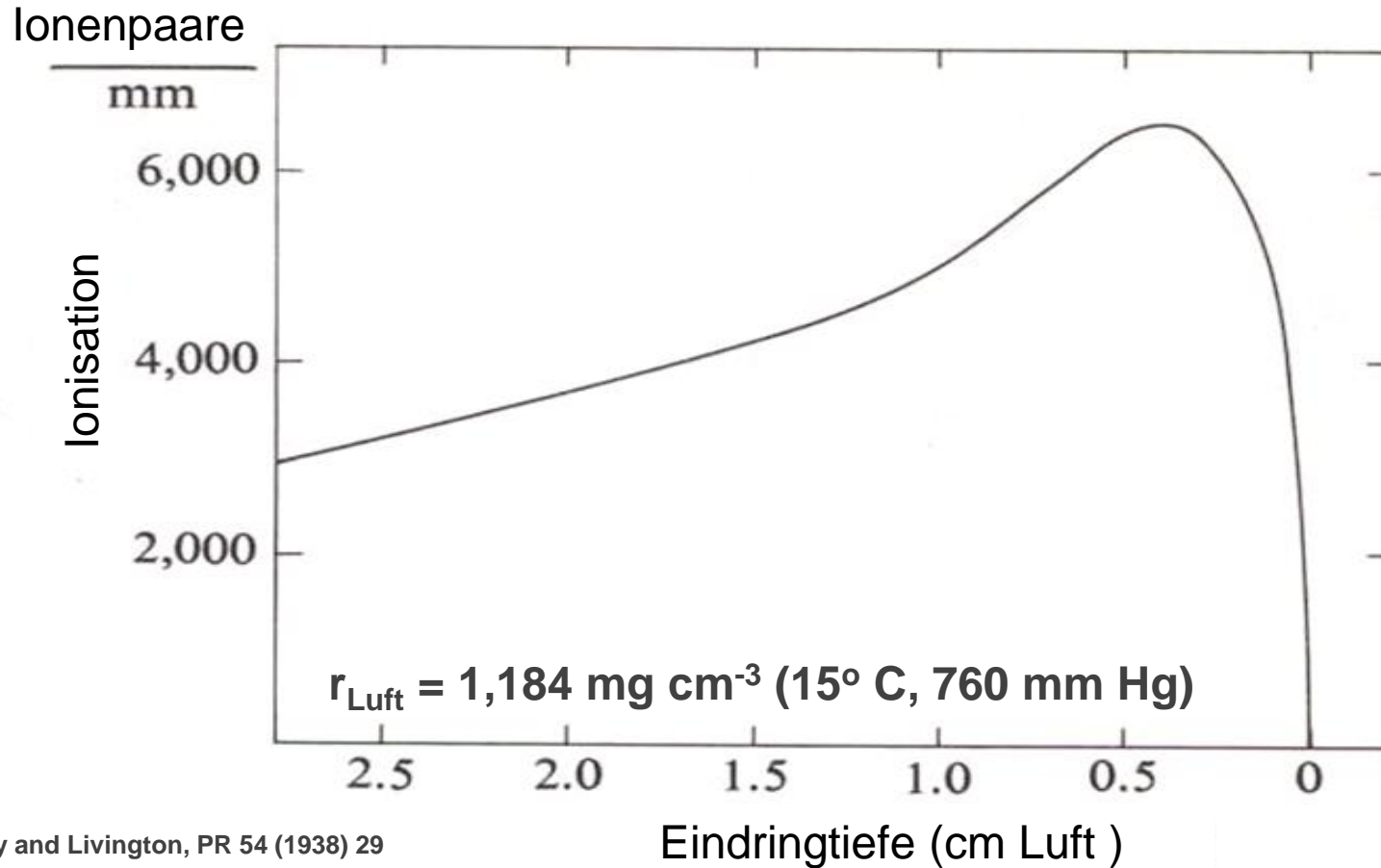
$$\frac{R_A \text{ in cm}}{R_0 \text{ in cm}} = \frac{\rho_0}{\rho_A} \sqrt{\frac{A_A}{A_0}}$$

**Bragg-Kleemann-
Regel**

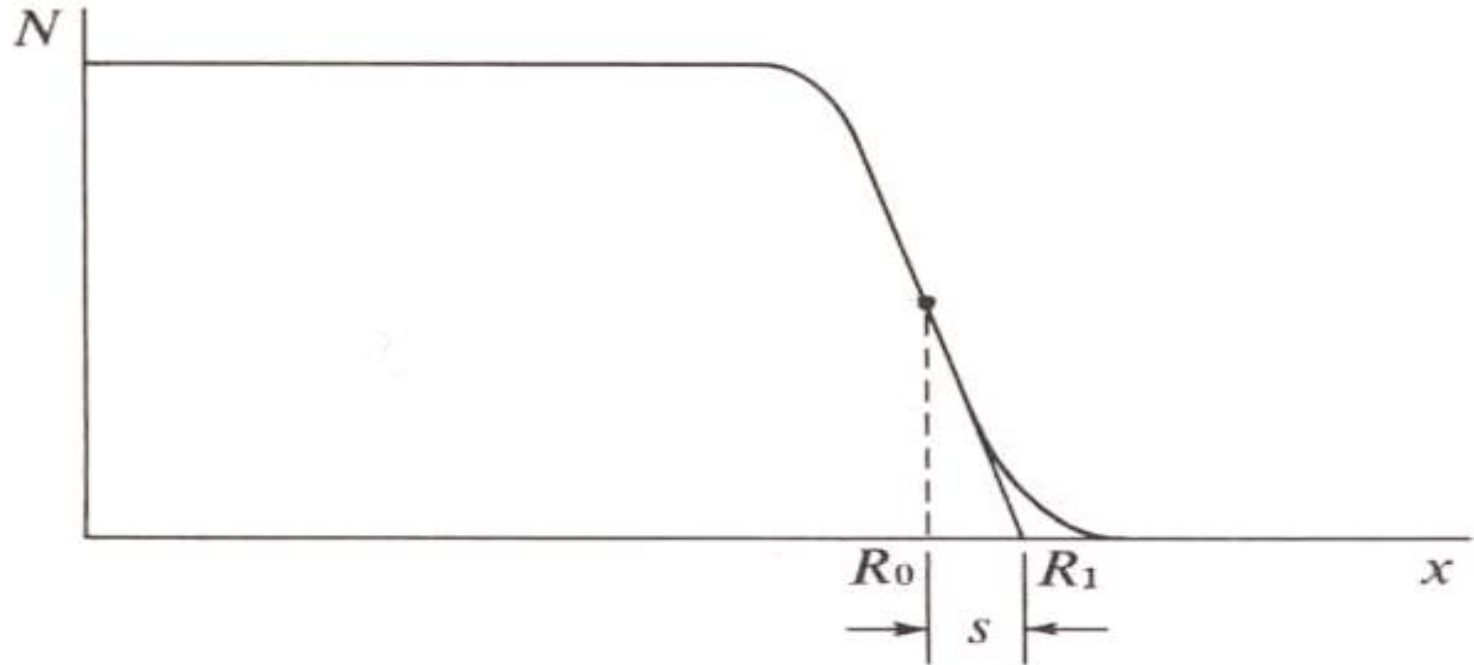
$$R = \int_{E_0}^0 \frac{dE}{dE/dx}$$

Reichweite

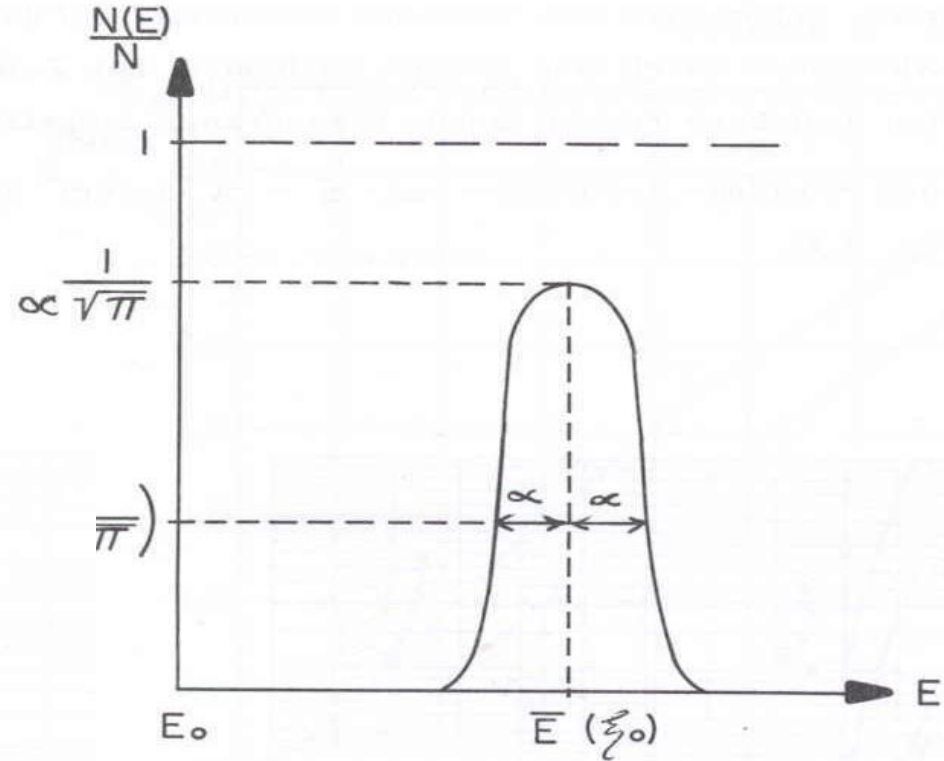
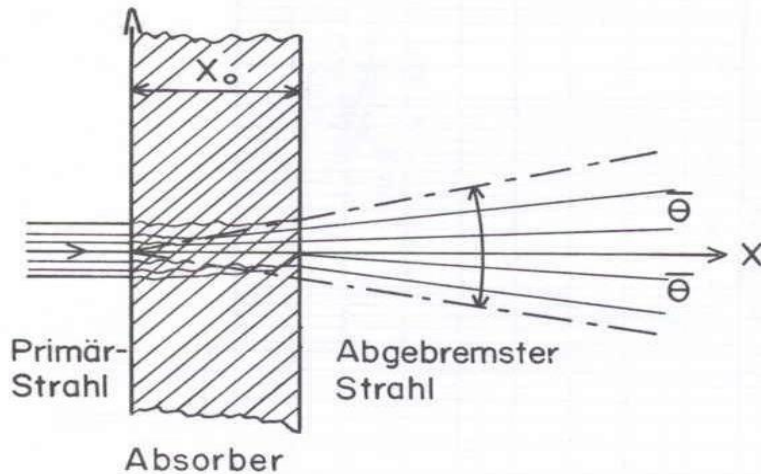




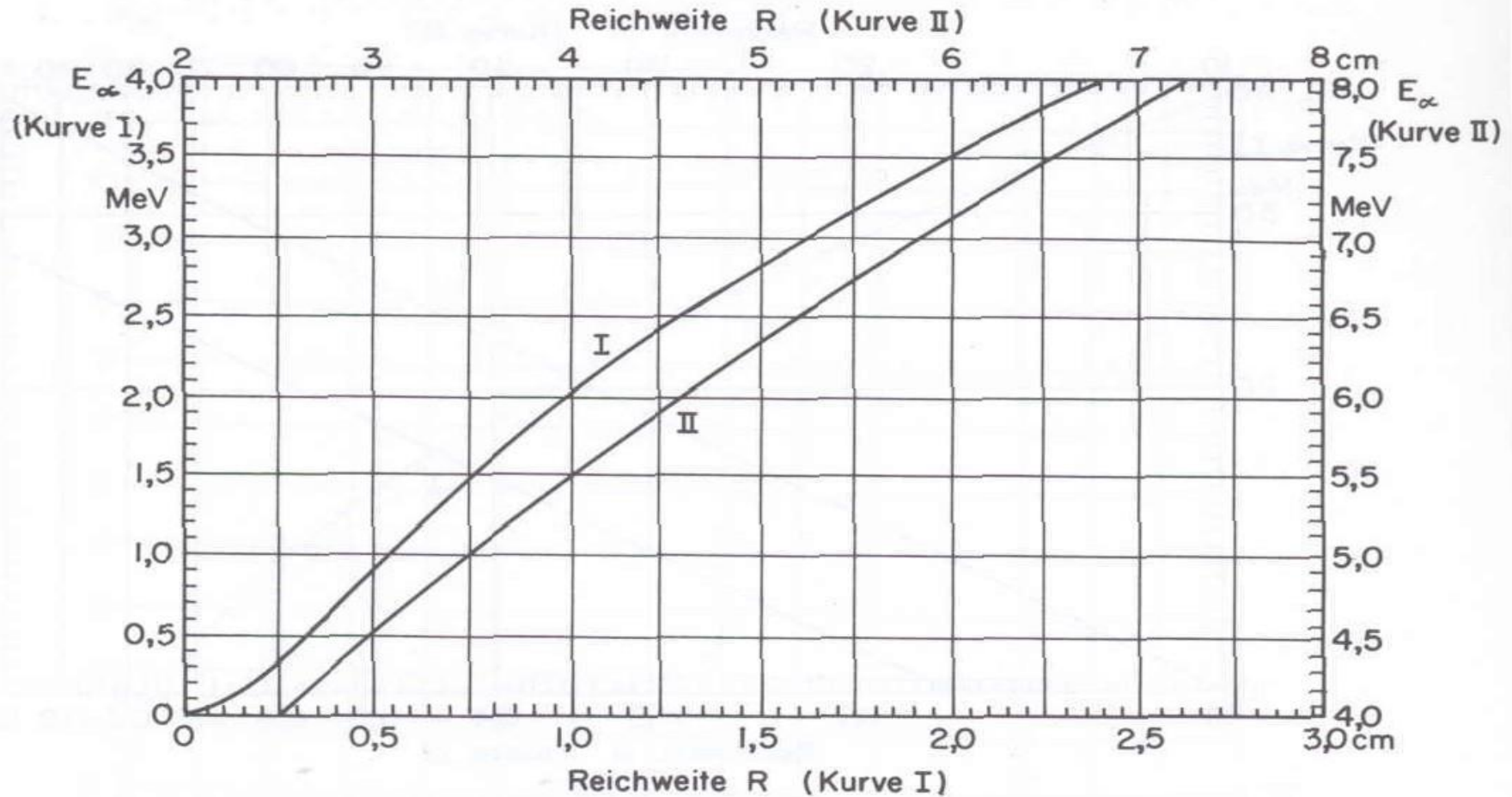
Holloway and Livingston, PR 54 (1938) 29

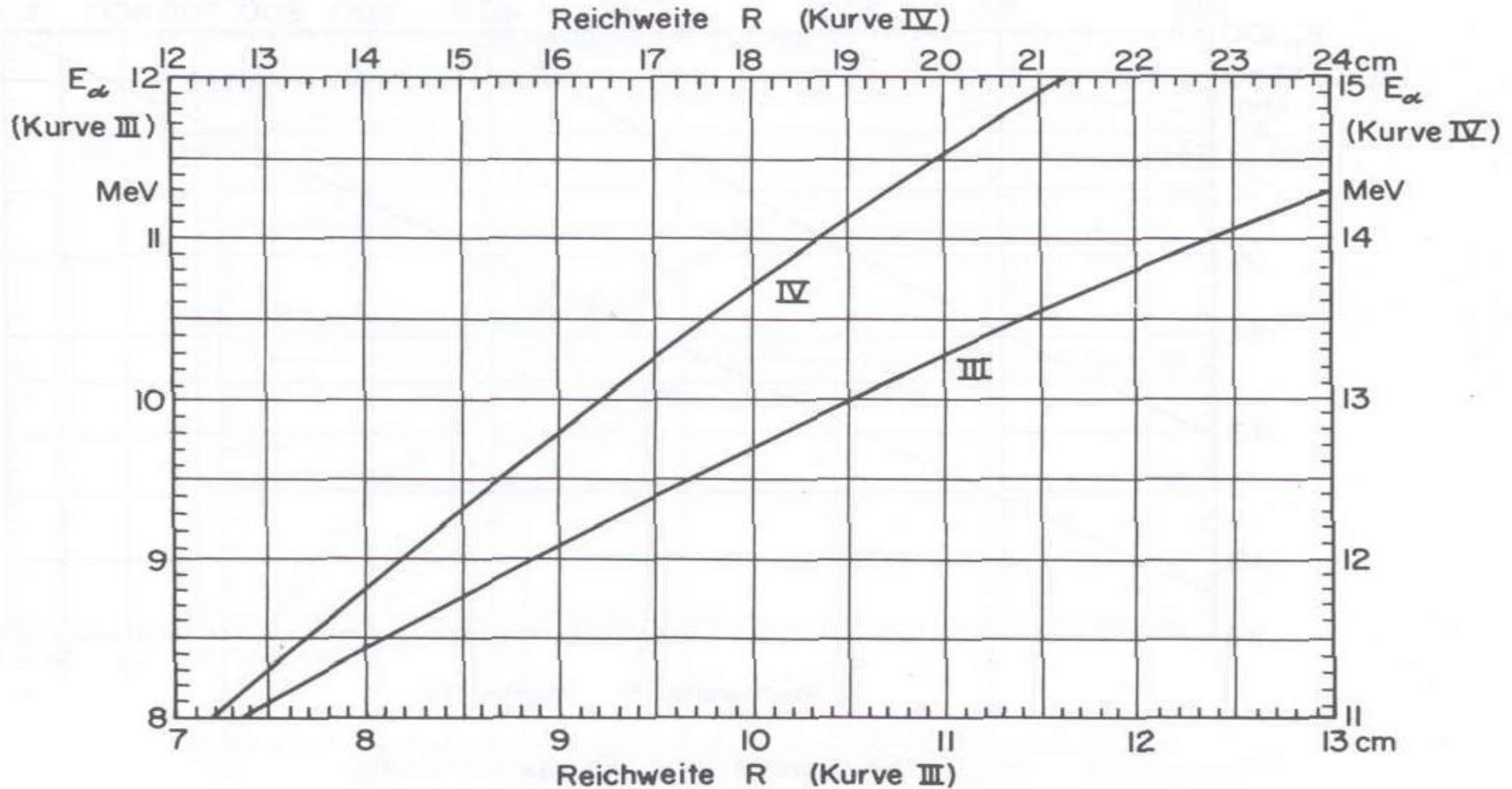


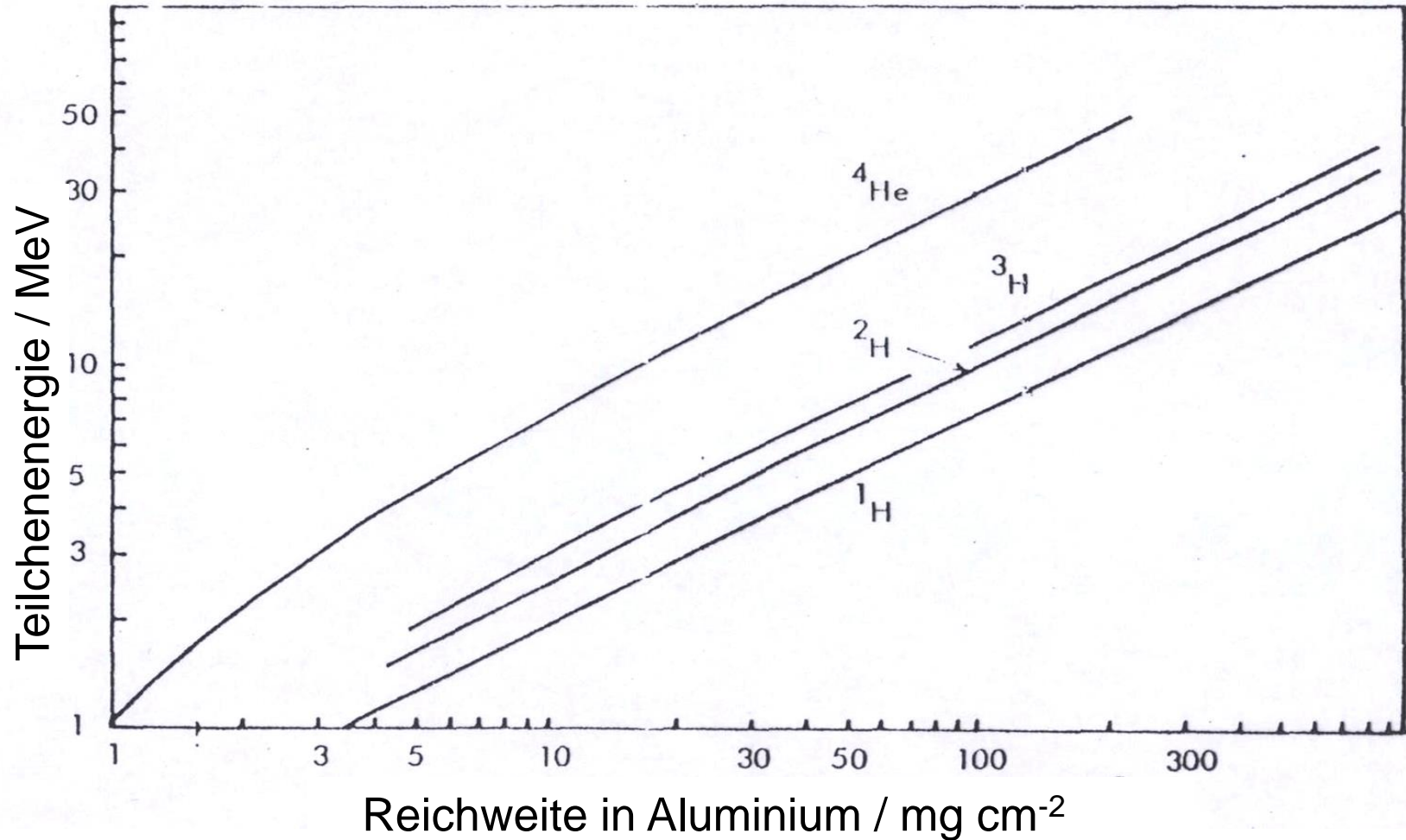
Θ und a sind annähernd normal-verteilt.



α straggling parameter







*linear energy transfer

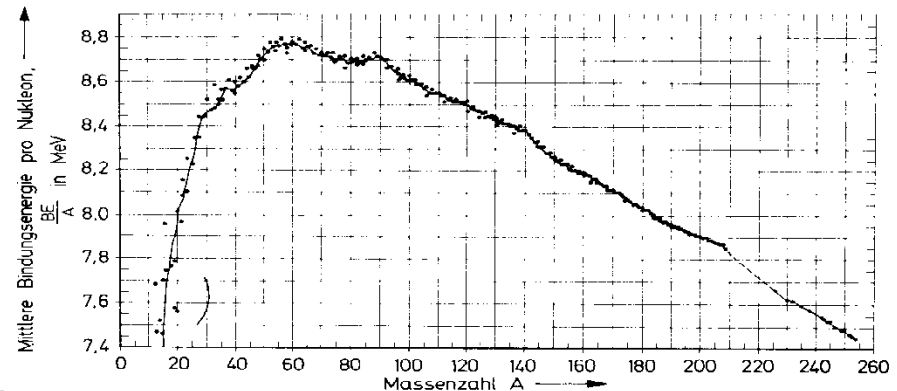
Radiation	Energy (MeV)	Maximum range		Average LET value in water (keV μm^{-1})
		cm air	mm water	
Electron	1	405	4.1	0.24
	3	1400	15	0.20
	10	4200	52	0.19
Proton	1	2.3	0.023	43
	3	14	0.014	21
	10	115	1.2	8.3
Deuteron	1	1.7	—	—
	3	8.8	0.088	34
	10	68	0.72	14
Helium	1	0.57	0.0053	190
	3	1.7	0.017	180
	10	10.5	0.11	92
Fiss. fragment	100	2.5	0.025	3300

$$Q_{\alpha} = M(Z, A) - M(Z - 2, A - 4) - M(\alpha)$$

Wegen $M(Z, A) = Z \cdot m_p + (A - Z) \cdot m_n - BE(Z, A)$

$$Q_{\alpha} = - BE(Z, A) + BE(Z - 2, A - 4) + BE(\alpha)$$

$$BE(\alpha) = 28,29599 \text{ MeV}$$



E_{α}	1,83 MeV (^{144}Nd)	\longleftrightarrow	11,7 MeV ($^{212\text{m}}\text{Po}$)
$T_{1/2}$	10^{15} a	\longleftrightarrow	10^{-6} s

Aber: die Coulomb Barriere ist viel höher, für $U \sim 9$ MeV. ???

1911 Geiger & Nuttall: Für die drei natürlichen Zerfallsreihen ergibt sich die empirische Beziehung

$$\log \lambda_{\alpha} = a + b \cdot \log R$$

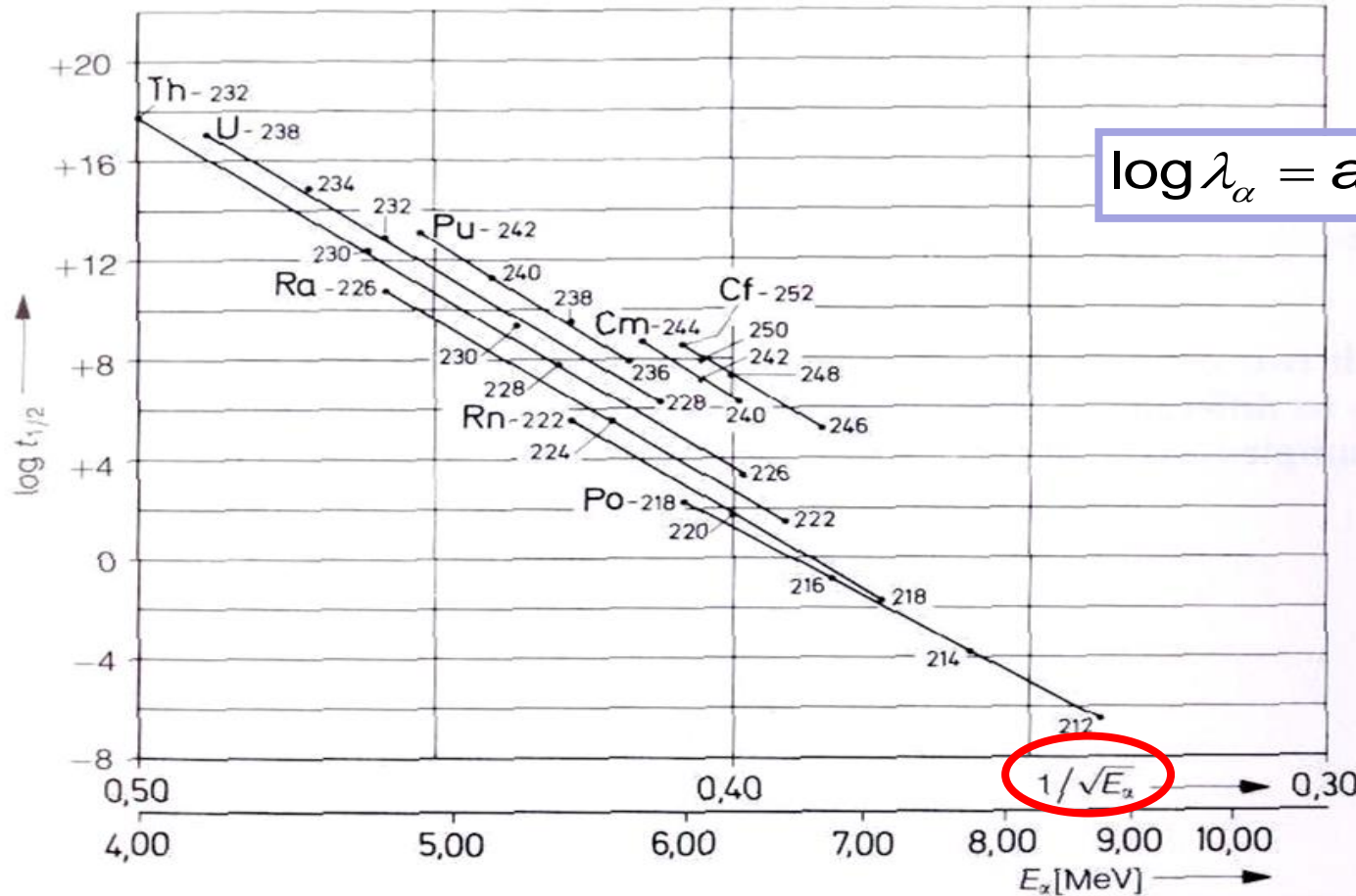
and with Geiger's rule $R \cong \text{const.} \cdot v_{\alpha}^3 \propto E^{1,5}$

$$\Rightarrow \log \lambda_{\alpha} = a' + b' \cdot \log E_{\alpha}$$

R: Reichweite

a verschieden
für die drei Reihen

$$\log \lambda_{\alpha} = a + b \cdot \log R$$

$$\log \lambda_{\alpha} = a' + b' \cdot \log E_{\alpha}$$

Coulomb Barrier und ein positiv geladenes Teilchen, das das “Unmögliche” versucht

Tunneling

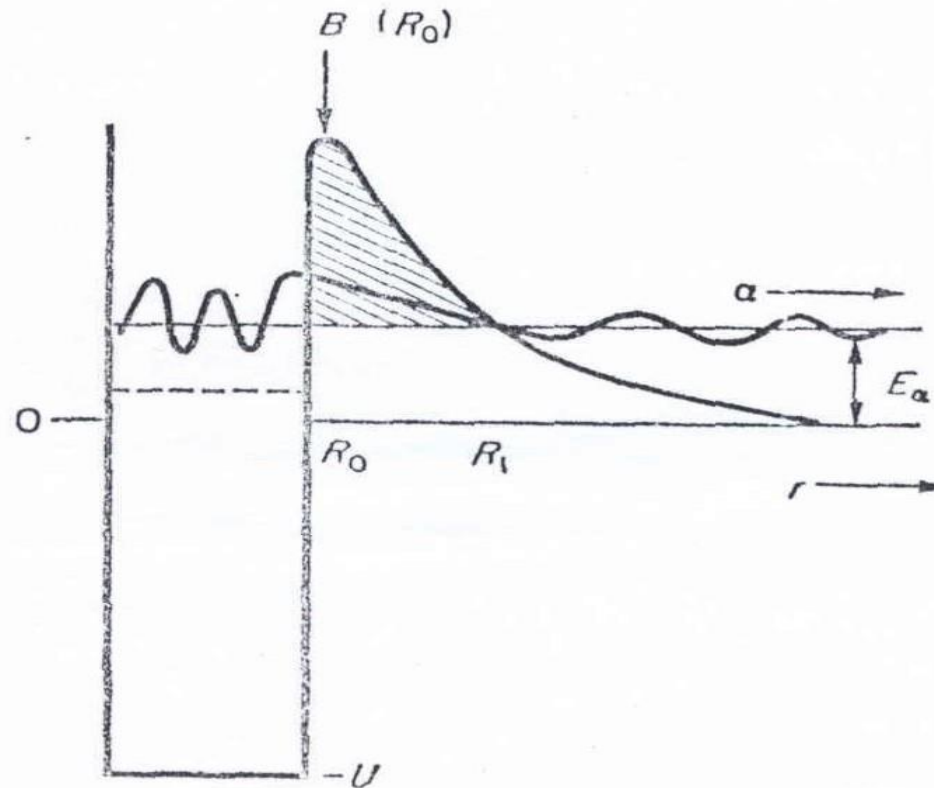
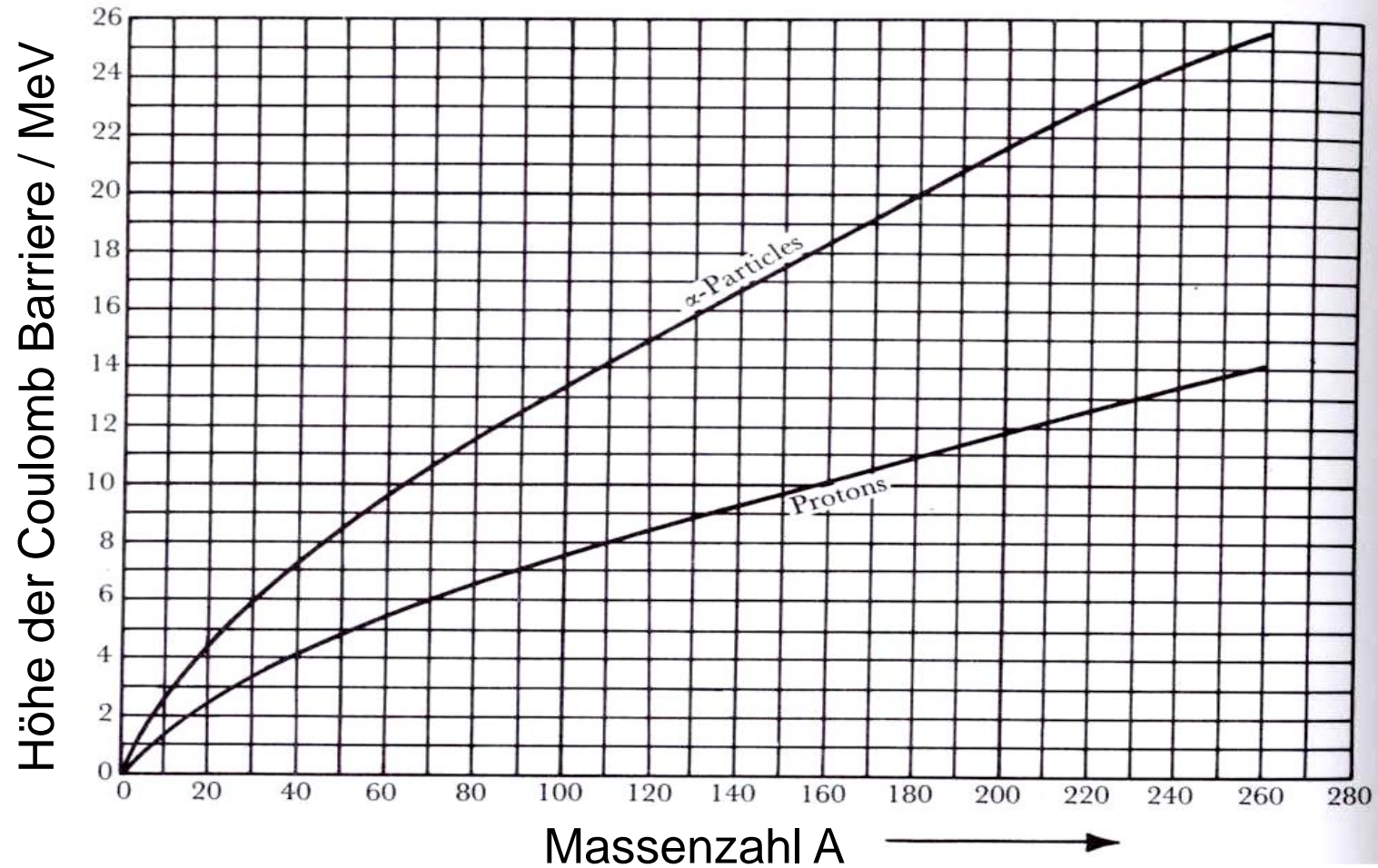


Fig. 2.14 Schematic diagram of the crossing of the potential barrier.
W. E. BURCHAM, *Nuclear Physics*, Longmans (1963).)



▪

λ_0 Häufigkeit der Bildung eines α -Teilchens im Kern und Versuch “zu entkommen”

T_α Wahrscheinlichkeit für Tunneln: Transmissionskoeffizient

$$\lambda_{\alpha} [\text{s}^{-1}] = \lambda_0 [\text{s}^{-1}] \cdot T_{\alpha}$$

λ_0 **Häufigkeit der Bildung eines α -Teilchens im Kern und Versuch “zu entkommen”**

T_{α} **Wahrscheinlichkeit für Tunneln: Transmissionskoeffizient**

$$\lambda_0 \approx 10^{21} \text{ s}^{-1}$$

$$\Rightarrow T_{\alpha} \in [10^{-15} - 10^{-43}] \quad \text{da} \quad T_{1/2, \alpha} \in [10^{-6} \text{ s} - 10^{15} \text{ a}]$$

$$T_{\alpha} = \exp(-G) = \exp \left\{ -\frac{2}{\hbar} \int_R^{R_1} (2m_{\alpha} |E_{\alpha} - V_C|)^{1/2} dr \right\}$$

$$\begin{aligned}
 T_{\alpha} &= \exp(-G) = \exp \left\{ -\frac{2}{\hbar} \int_R^{R_1} (2m_{\alpha} |E_{\alpha} - V_C|)^{1/2} dr \right\} \\
 &= \exp \left\{ -2 \frac{\sqrt{2m_{\alpha}}}{\hbar} \int_R^{R_1} \sqrt{\frac{Z \cdot z_{\alpha} \cdot e^2}{r} - E_{\alpha}} dr \right\}
 \end{aligned}$$

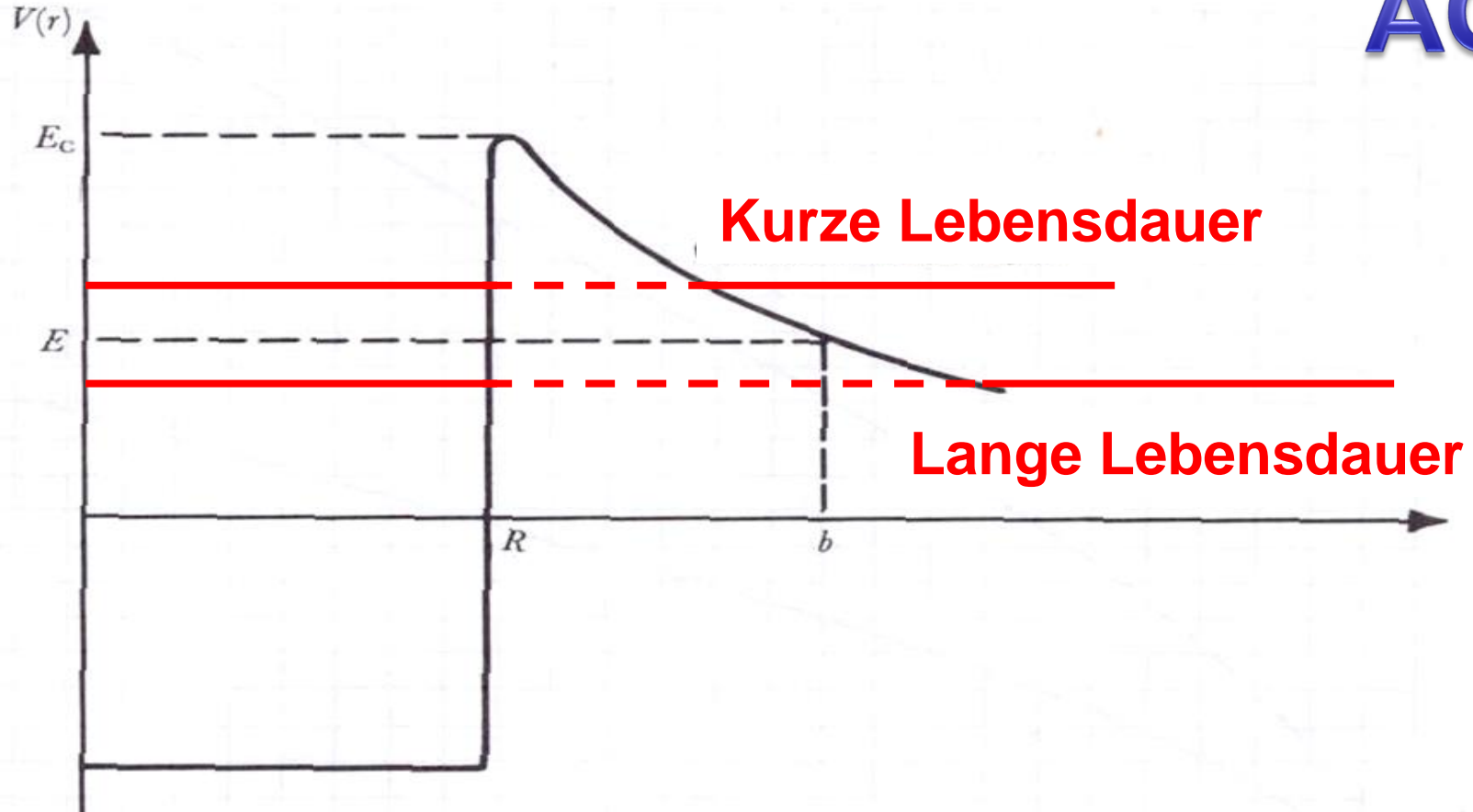
$$T_{\alpha} = \exp(-G) = \exp \left\{ -\frac{2}{\hbar} \int_R^{R_1} (2m_{\alpha} |E_{\alpha} - V_C|)^{1/2} dr \right\}$$

$$= \exp \left\{ -2 \frac{\sqrt{2m_{\alpha}}}{\hbar} \int_R^{R_1} \sqrt{\frac{Z \cdot z_{\alpha} \cdot e^2}{r} - E_{\alpha}} dr \right\}$$

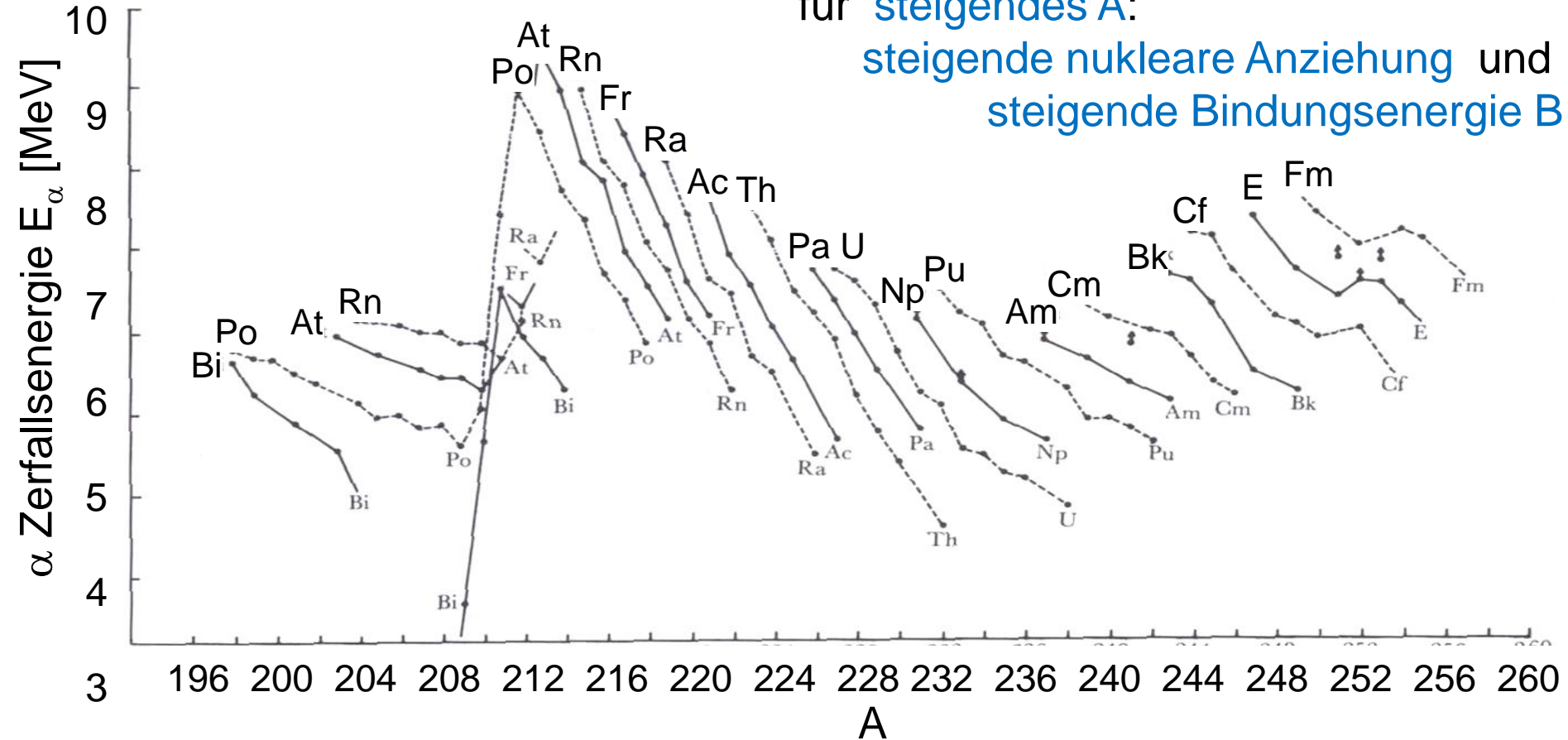
$$G = \frac{2}{\hbar} \sqrt{\frac{2m_{\alpha}}{E_{\alpha}}} \cdot Z \cdot z_{\alpha} \cdot e^2 \cdot \gamma(x)$$

G ist der Gamow faktor

mit $x = \frac{R}{R_1}$ und $\gamma(x) = \arccos \sqrt{x} - \sqrt{x(1-x)}$



Für festes Z sinkt die Energiefreisetzung (Q-Wert)
für steigendes A :
steigende nukleare Anziehung und
steigende Bindungsenergie B



Zerfallsschema des g-g Kerns Po-210 (Z=84)

Po 208 2.898 a α 5.1152... ϵ γ (292; 571...) g	Po 209 102 a α 4.881... ϵ γ (895; 261; 263...)	Po 210 138.38 d α 5.30438... γ (803); $\sigma < 0.0005$ $+ < 0.030$; $\sigma_{n,\alpha}$ 0.002; $\sigma_f < 0.1$
Bi 207 31.55 a ϵ β^+ ... γ 570; 1064; 1770...	Bi 208 $3.68 \cdot 10^5$ a ϵ γ 2615	Bi 209 100 $1.9 \cdot 10^{19}$ a α 3.137 σ 0.011 + 0.023 $\sigma_{n,\alpha} < 3E-7$
Pb 206 24.1 σ 0.027	Pb 207 22.1 σ 0.61	Pb 208 52.4 σ 0.00023 $\sigma_{n,\alpha} < 8E-6$

0 + ^{210}Po (138.4d)

α (5.305 MeV)
~100 %

0 + ^{206}Pb

Pu 236 2.858 a sf α 5.768; 5.721... sf; Mg 28 γ (48; 109...); e^- σ_f 160	Pu 237 45.2 d sf α 5.334... γ 60...; e^- σ_f 2300	Pu 238 87.74 a sf α 5.499; 5.456... sf; Si; Mg γ (43; 100...); e^- σ 510; σ_f 17
Np 235 396.1 d ϵ ; α 5.025; 5.007... γ (26; 84...); e^- g ; σ 160 + ?	Np 236 225 h ϵ ; β^- 0.5... γ (642; 688...); e^- g ; σ_f 2700	Np 237 $2.144 \cdot 10^6$ a sf α 4.790; 4.774... γ 29; 87...; e^- σ 170; σ_f 0.020
U 234 0.0054 $2.455 \cdot 10^5$ a α 4.775; 4.723...; sf Mg 28; Ne; γ (53; 121...) e^- ; σ 96; σ_f 0.07	U 235 0.7204 26 m $7.038 \cdot 10^8$ a I_f (0.07) e^-	U 236 120 ns $2.342 \cdot 10^7$ a α 4.494; 4.445...; sf; γ (49; 113...) e^- ; σ 5.1

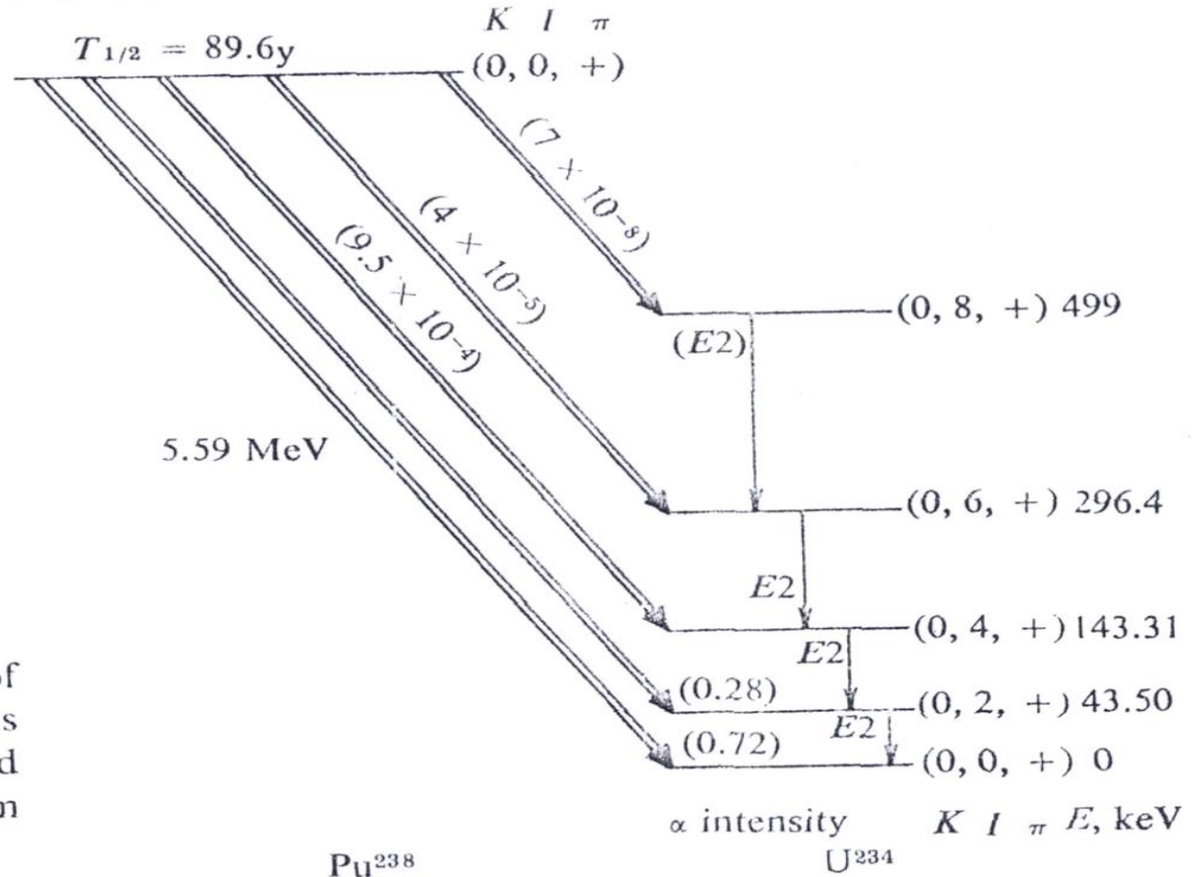


Figure 7-6 Decay scheme of Pu²³⁸ showing alpha transitions starting from one level and ending in different levels. [From F. S. Stephens in (AS 60).]

Gamow-Theorie funktioniert **nur für g-g-Kerne**, die aus ihrem **Grundzustand** zerfallen. Für andere Nuklide ist der α -Zerfall erschwert, d.h. sie haben längere Halbwertszeiten als erwartet.

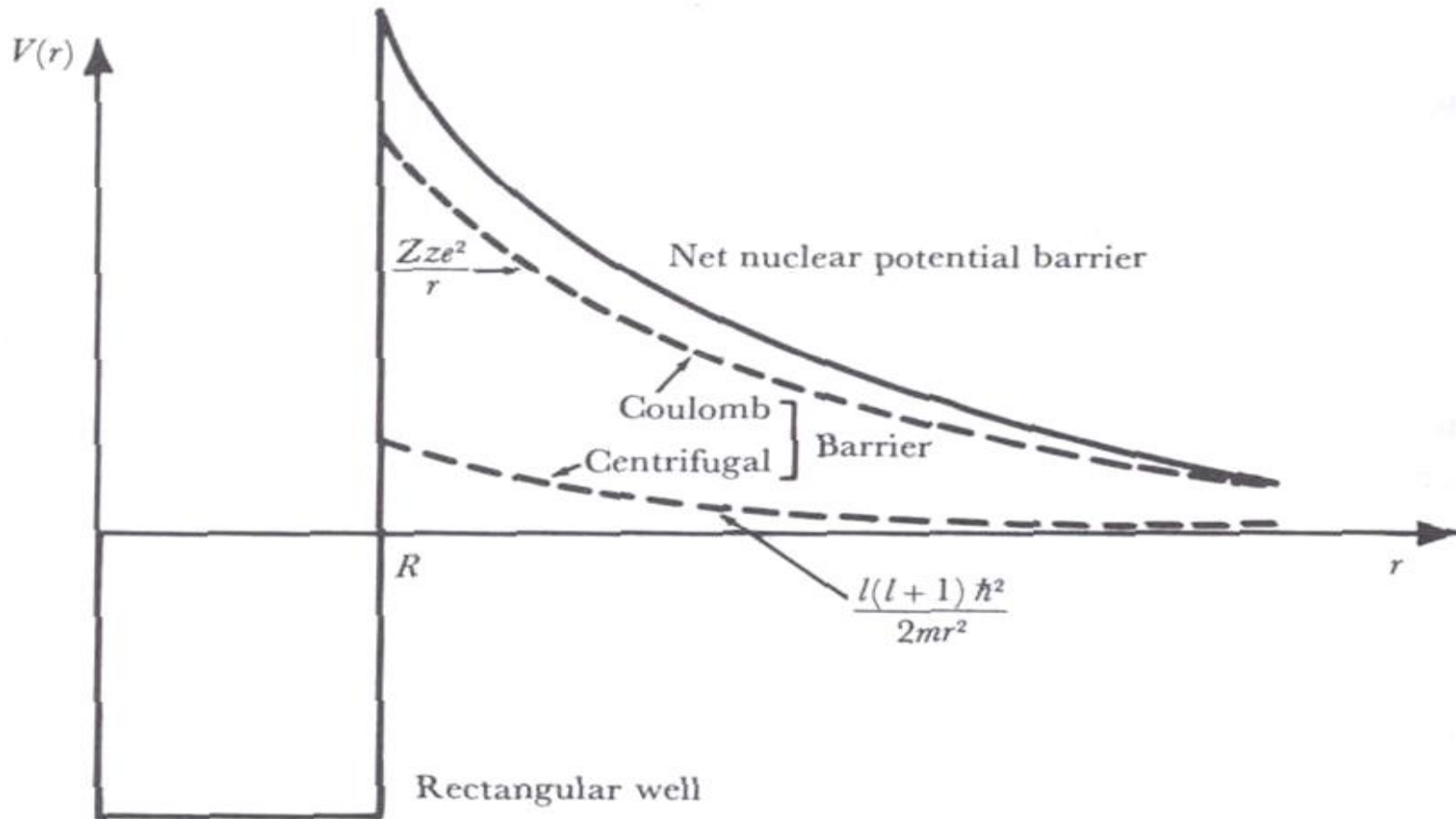
Die Erklärung::

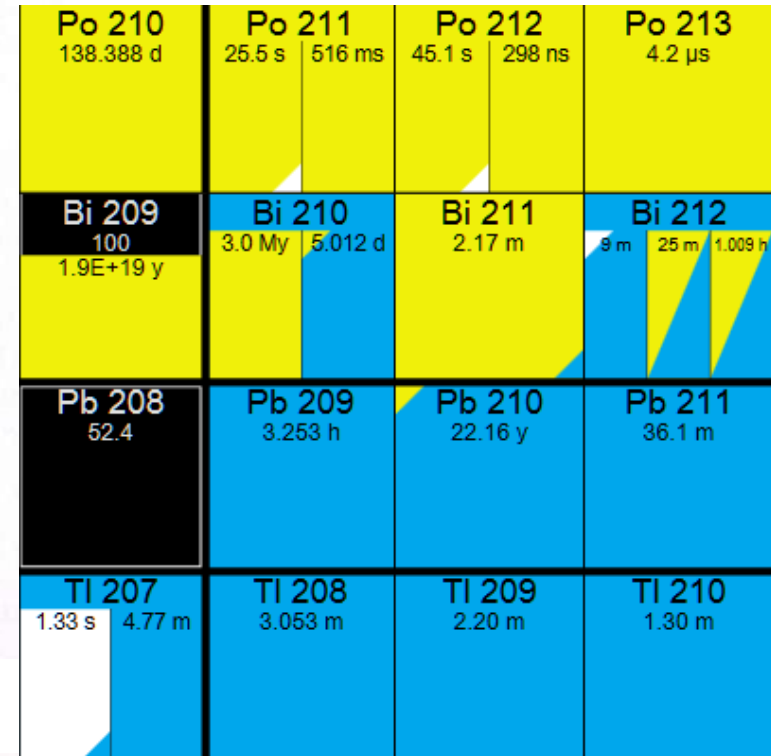
Vernachlässigung der Zentrifugalbarriere für $l \neq 0$ und der Kernstruktur in l_0 .

$$V = \frac{Z \cdot z \cdot e^2}{r} + \frac{l \cdot (l + 1) \cdot \hbar^2}{2 \cdot m_\alpha \cdot r^2}$$

$$\lambda_0 \Rightarrow \lambda = \lambda_0 \cdot S$$

S ist ein spektroskopischer Faktor für Bildung and Koaleszenz des α Teilchens





Long-Range
 α -Teilchen

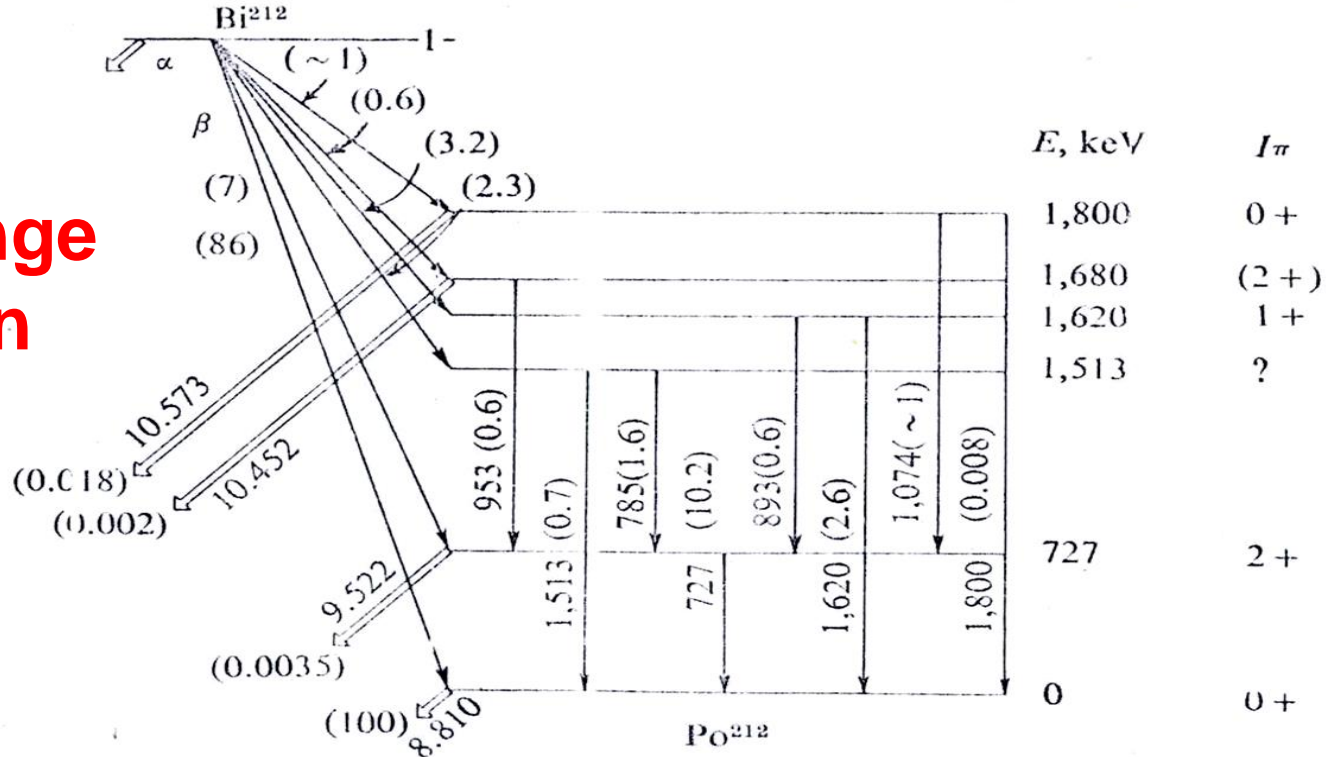
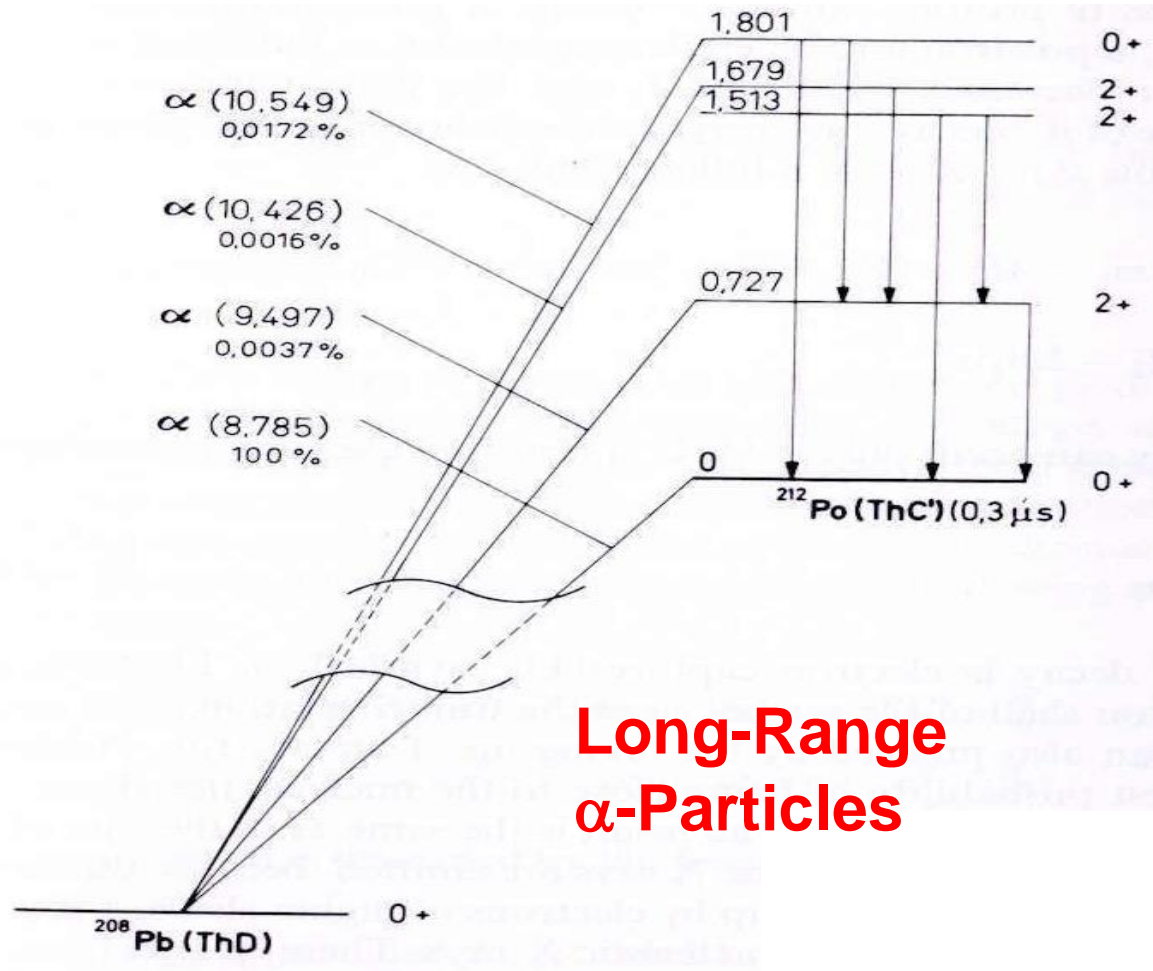


Figure 7-8 Level scheme and decay scheme of Po^{212} . E_α in MeV and E in keV. All intensities (in parentheses) relative to 100 Po^{212} ground-state transitions. [G. T. Emery and W. R. Kane, *Phys. Rev.*, **118**, 755 (1960).]



AO Zerfallsschema des Po-212 (vereinfacht)

^{212}Po (= ThC')

Die Energie des α -Zerfalls von einem angeregten Zustand des ^{212}Po ist so hoch, dass α -Zerfall mit γ -Zerfall konkurrieren kann

Man misst

$$\lambda_{\gamma} \approx 10^{12} \text{ s}^{-1}$$

$$\frac{\lambda_{\gamma}}{\lambda_{\alpha}} = \frac{N_{\gamma}}{N_{\text{longrange}\alpha}}$$

$$\lambda_{\alpha} = 0,21 \cdot 10^7 \text{ s}^{-1}$$

$$\lambda_{\alpha} = 0,9 \cdot 10^8 \text{ s}^{-1}$$

$$\lambda_{\alpha} \approx 10^{10} \text{ s}^{-1}$$

Grundzustand

727 keV angeregter Zustand

1,8 MeV angeregter Zustand

- Szintillationszähler ZnS
- Frisch Gitter Kammer
- Ionisationskammer (Diskriminierung von β -Teilchen sowie Spektroskopie möglich)
- Proportionalzähler (dünnes Fenster, nicht gasdicht, Diskriminierung von β -Teilchen möglich bei Benutzung verschiedener Plateaus Spektroskopie möglich)
- α -spectrometer: Prinzip eines Massenspektrometers
- Halbleiterspektrometrie Si, Si(Li)

- Philipsborn

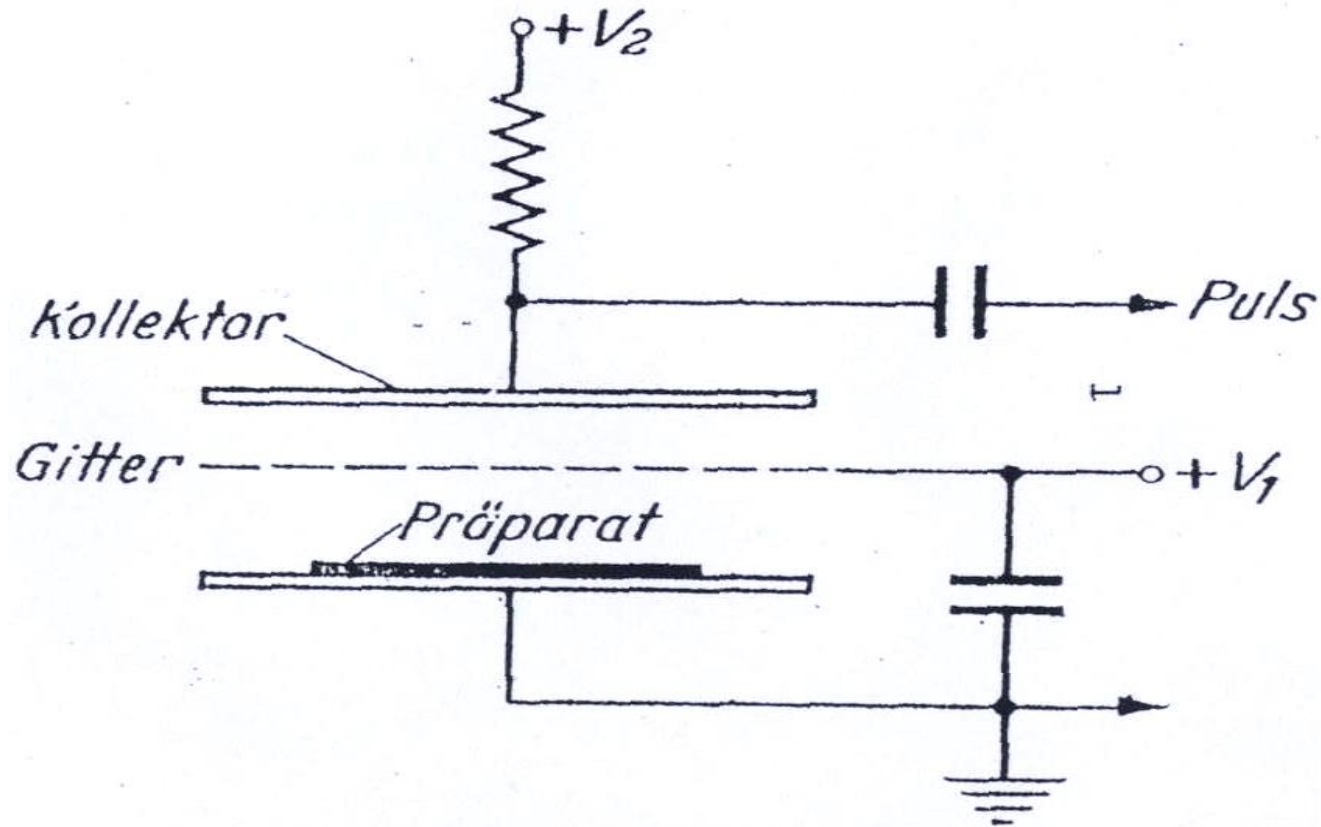
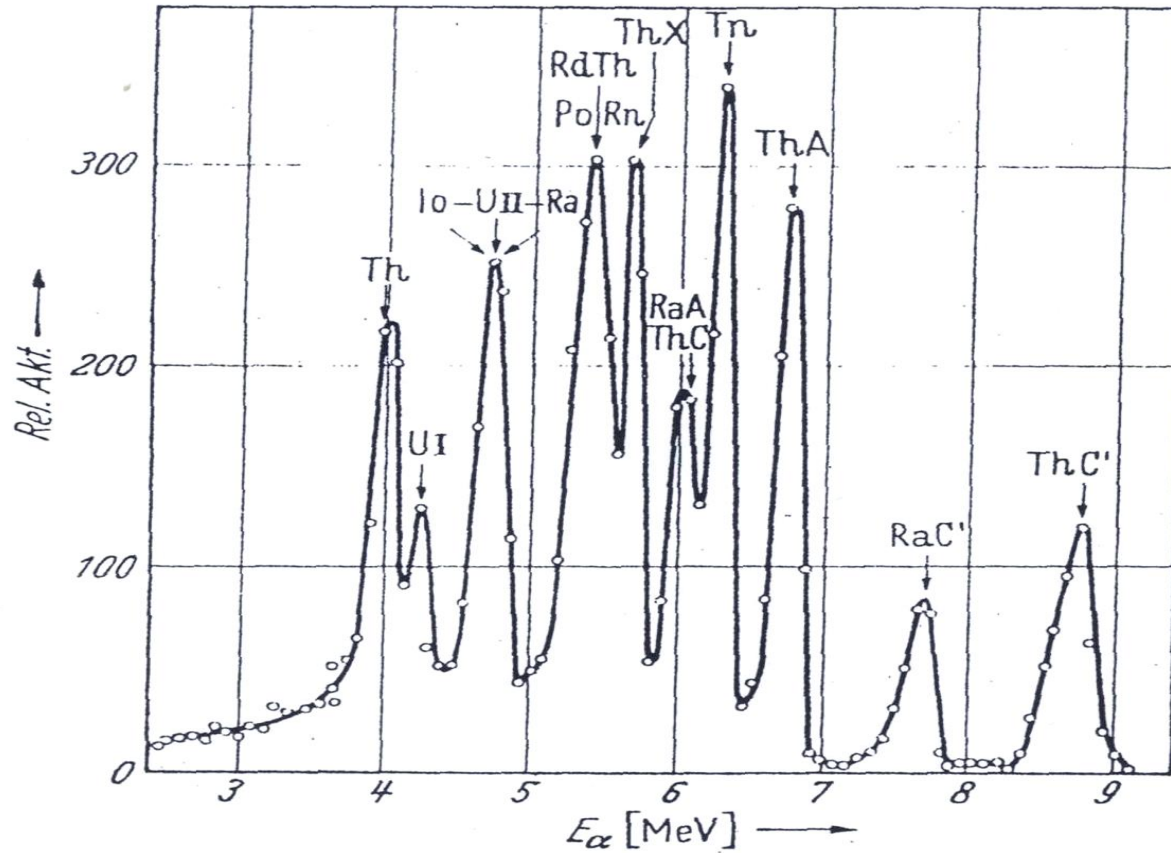


Abb. 65. „Frisch-grid“-Ionisationskammer,
schematisch



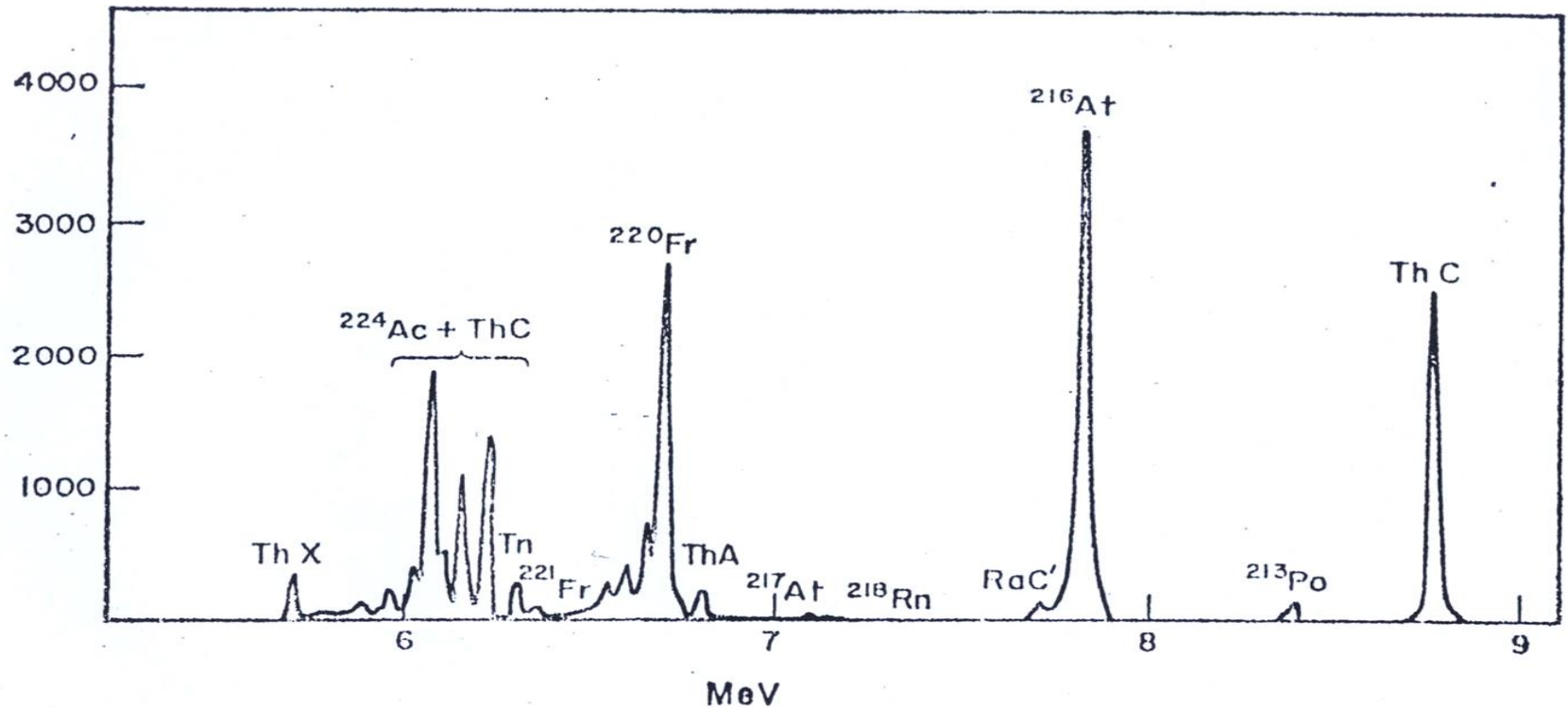


Fig. 2.8 Spectrum of the alpha lines of the ^{224}Ac family, obtained by means of solid-state detectors. (J. P. BRIAND and M. LEFORT, *Phys. Let.* 10, 90 (1964).)

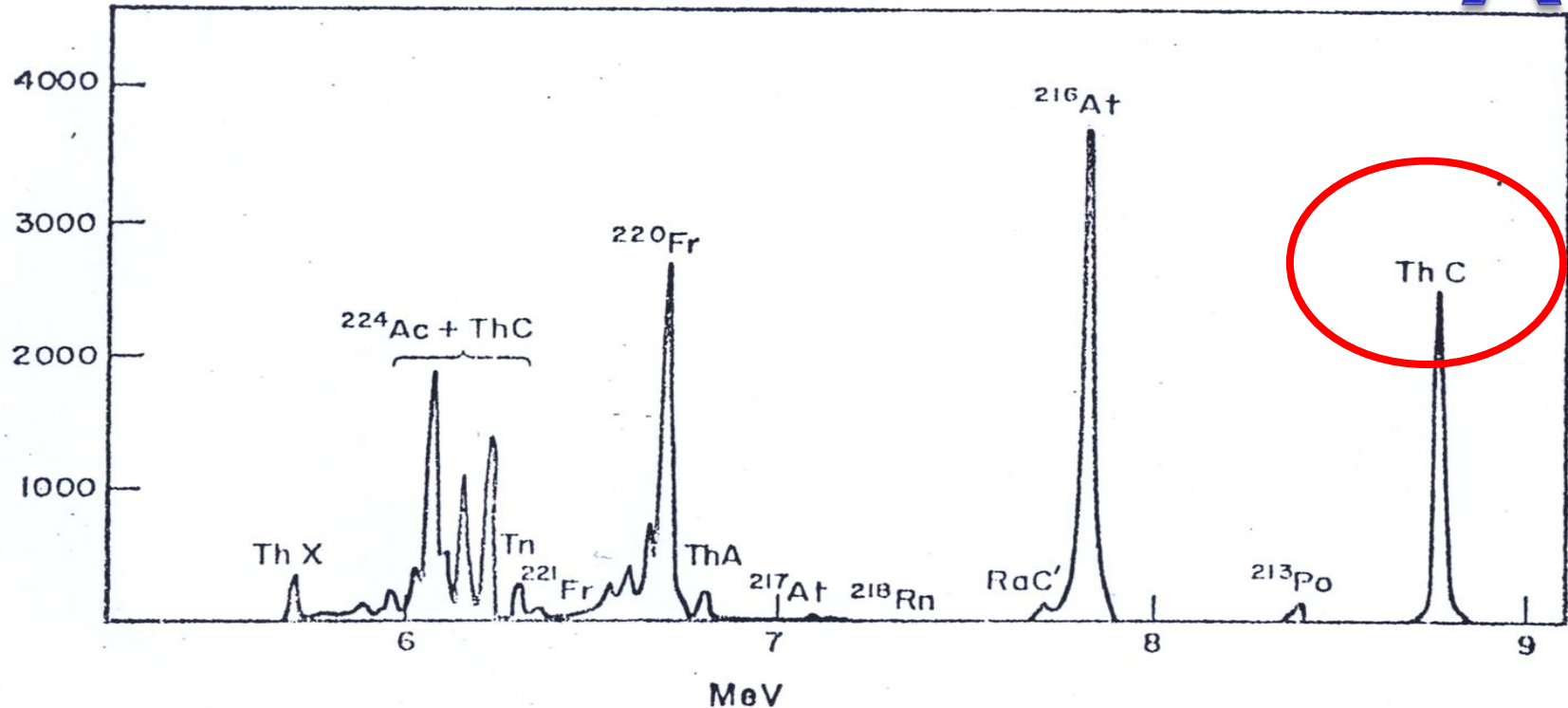
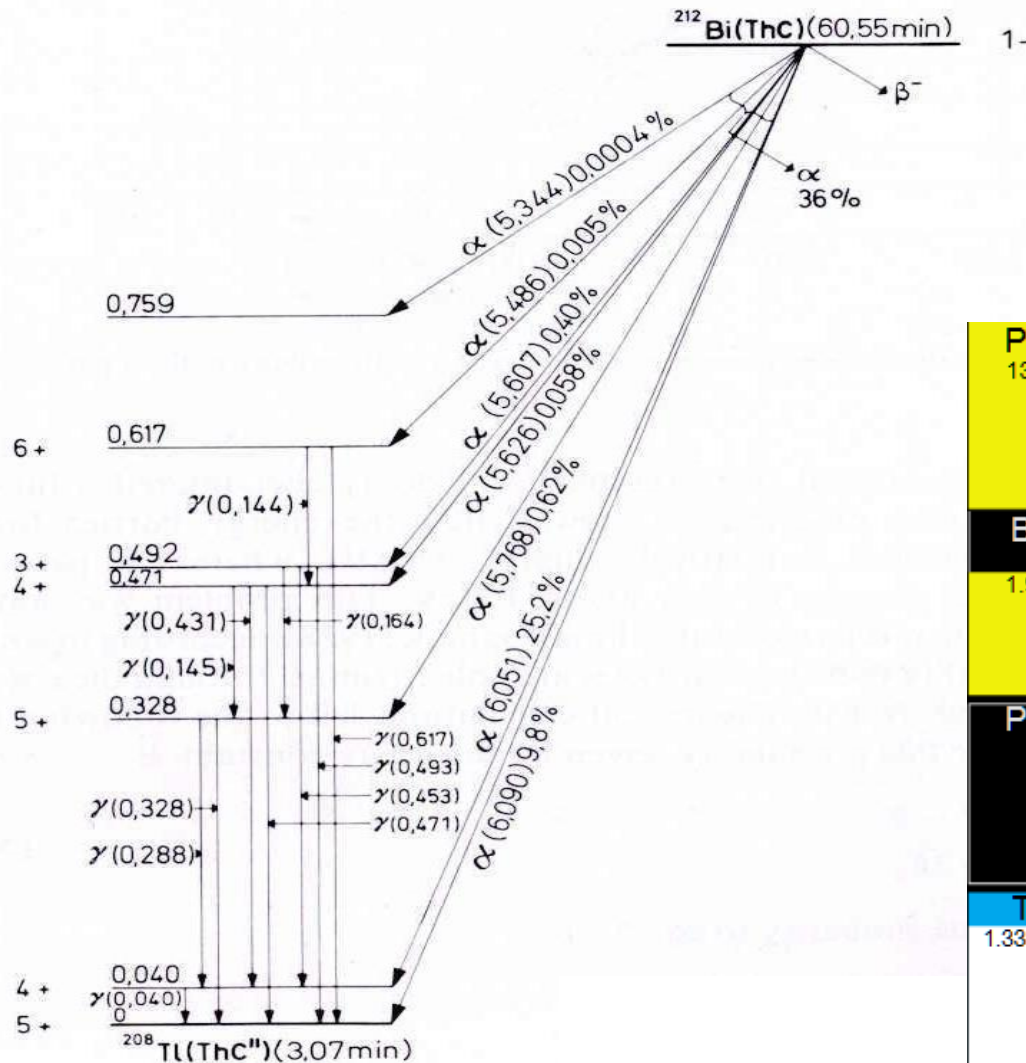


Fig. 2.8 Spectrum of the alpha lines of the ^{224}Ac family, obtained by means of solid-state detectors. (J. P. BRIAND and M. LEFORT, *Phys. Let.* 10, 90 (1964).)

Zerfallsschema des u-u Kerns Bi-212 (Z=83)



Po 210 138.388 d	Po 211 25.5 s 516 ms	Po 212 45.1 s 298 ns	Po 213 4.2 μs
Bi 209 100 1.9E+19 y	Bi 210 3.0 My 5.012 d	Bi 211 2.17 m	Bi 212 9 m 25 m 1.009 h
Pb 208 52.4	Pb 209 3.253 h	Pb 210 22.16 y	Pb 211 36.1 m
Tl 207 1.33 s 4.77 m	Tl 208 3.053 m	Tl 209 2.20 m	Tl 210 1.30 m

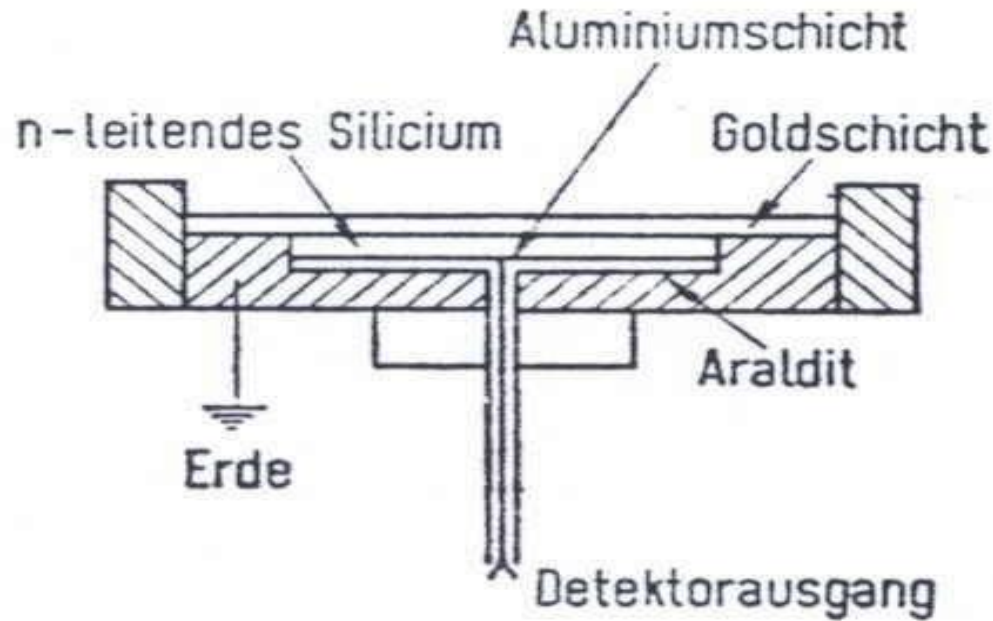
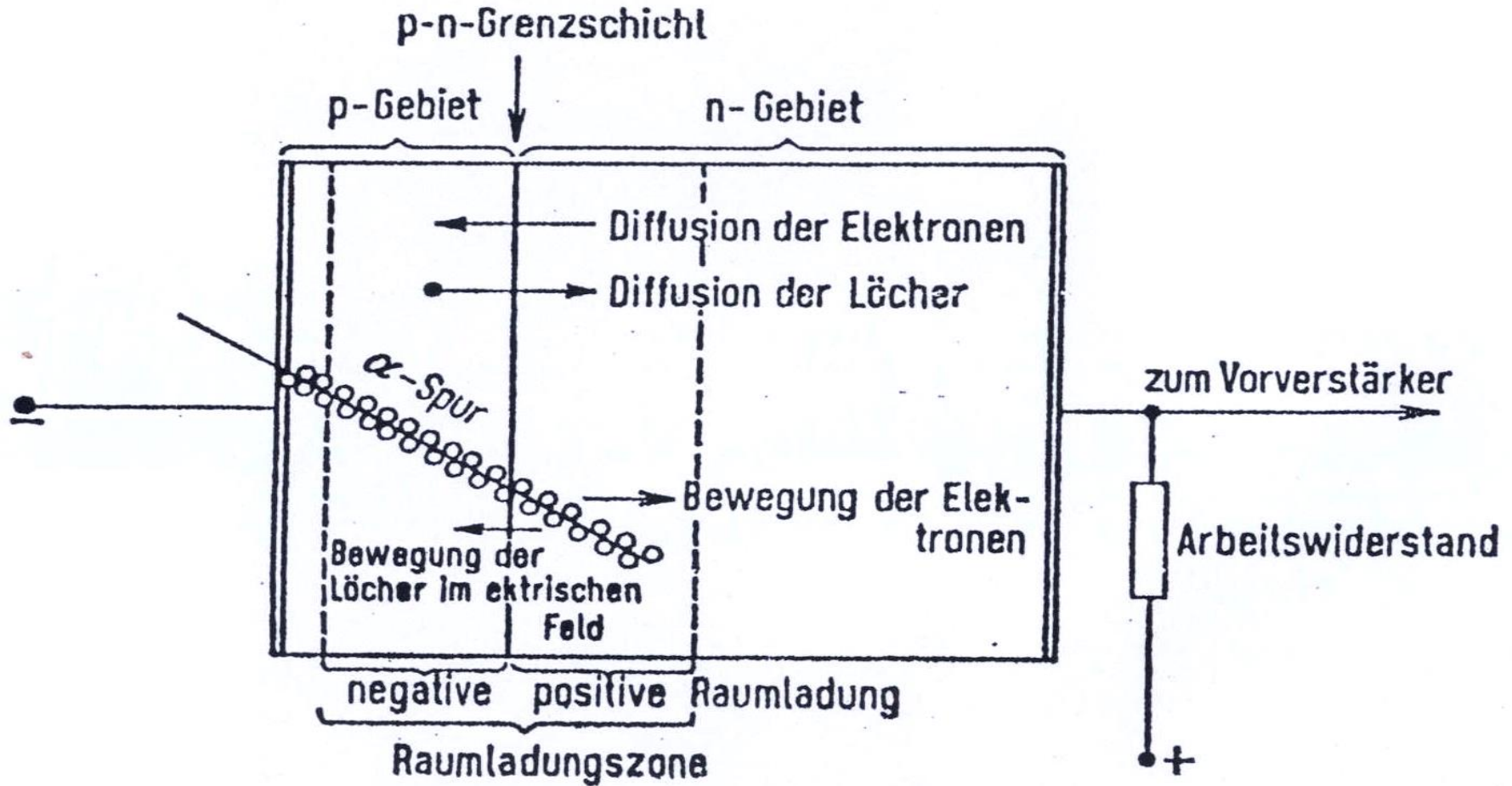


Abb. 2.36. Aufbau eines Oberflächen-sperrschichtzählers.



Die Energieauflösung eines Spektrometers hängt ab von der kleinsten Energiemenge die von dem Partikel im Detektor abgegeben werden kann

Ionisationsenergie im Gas

~ 30 eV

Nal(Tl)

Energie, um ein Elektron-Loch Paar zu generieren

Hängt nicht von der Teilchenart ab

Si 3,5 eV
Ge 2,94 eV

Auflösung für α : 15 keV/5 MeV ~ 0,003
 γ : 2 keV/1,33 MeV ~ 0,002

- Selbstabsorption in der Probe
- Absorption zwischen Quelle und Detektor
- Absorption im Material des Detektors
- Probendicke beeinflusst Auflösung

... die gemessenen Energien sind zu niedrig

Warum?

$$E_{\alpha} = \frac{p_{\alpha}^2}{2m_{\alpha}} \quad E_{\text{Rückstoß Kern}} = \frac{p_{\alpha}^2}{2m_A}$$

$$E_{\text{Rückstoß Kern}} = \frac{2m_{\alpha}}{2m_A} E_{\alpha} = \frac{m_{\alpha}}{m_A} E_{\alpha} \approx \frac{4}{A} E_{\alpha}$$

Für $A = 200$ und $E_{\alpha} = 5 \text{ MeV}$ ergibt sich

$$E_{\text{Rückstoß Kern}} = 100 \text{ keV.}$$

$$E_{\alpha} = \frac{p_{\alpha}^2}{2m_{\alpha}} \quad E_{\text{recoil nucleus}} = \frac{p_{\alpha}^2}{2m_A}$$

$$E_{\text{recoil nucleus}} = \frac{2m_{\alpha}}{2m_A} E_{\alpha} = \frac{m_{\alpha}}{m_A} E_{\alpha} \approx \frac{4}{A} E_{\alpha}$$

Für $A = 200$ und $E_{\alpha} = 5 \text{ MeV}$ ergibt sich

$$E_{\text{recoil nucleus}} = 100 \text{ keV.}$$

